

8/85

الجمهورية الجزائرية الديمقراطية الشعبية
REPUBLIQUE ALGERIENNE DEMOCRATIQUE ET POPULAIRE

وزارة التعليم العالي
Ministère de l'Enseignement Supérieur

Alex

المدرسة الوطنية للعلوم الهندسية
ECOLE NATIONALE POLYTECHNIQUE D'ALGER
E. N. P. A

DEPARTEMENT GENIE MECANIQUE

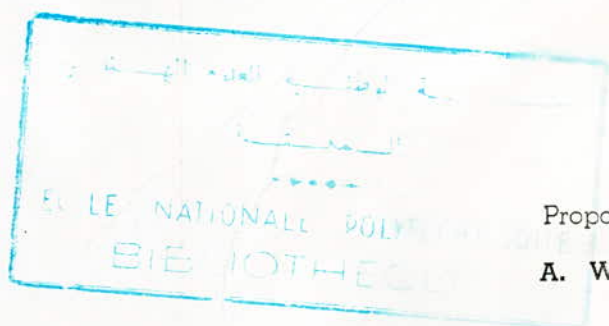
PROJET DE FIN D'ETUDES
INGENIORAT D'ETAT EN GENIE MECANIQUE

THEME :

BANC D'ESSAI DE MESURE DE
LA PORTANCE D'UNE AILE

1 PLAN

Etudié par :
NOURA BELKHEIR



Proposé par :
A. WERNER

الجمهورية الجزائرية الديمقراطية الشعبية
REPUBLIQUE ALGERIENNE DEMOCRATIQUE ET POPULAIRE

وزارة التعليم العالي
Ministère de l'Enseignement Supérieur

الدرسة الوطنية للملوم الهندسية
ECOLE NATIONALE POLYTECHNIQUE D'ALGER
E. N. P. A

DEPARTEMENT GENIE MECANIQUE

PROJET DE FIN D'ETUDES
INGENIORAT D'ETAT EN GENIE MECANIQUE

THEME :

BANC D'ESSAI DE MESURE DE
LA PORTANCE D'UNE AILE

Etudié par :

NOURA BELKHEIR

Proposé par :

A. WERNER

DEDICACES

Je dédie ce modeste travail.

- A mes chers parents qui se sont sacrifiés pour me voir atteindre ce but.
- A mes frères et sœurs.
- A tous ceux qui me sont chers
- A tous ceux qui m'ont aidé de près ou de loin, durant mes études.

REMERCIEMENTS

Je tiens à remercier tous les enseignants de l'École Nationale Polytechnique qui ont contribué à ma formation d'ingénieur et en particulier ceux du département de Génie Mécanique. J'exprime ma vive reconnaissance aux agents et techniciens de l'atelier et de la maintenance et en particulier Mr. Abdelkader pour sa sympathique assistance technique, matérielle et morale.

Je réitère mes remerciements à Mr. ANDRZEJ WERNER pour ces conseils et son suivi constant qu'il m'a prodigués tout le long de mon travail.

Que tous ceux qui ont contribué de loin ou de près à la mise en forme de ce projet trouveront ici l'expression de ma profonde gratitude.



مختصر

يتمثل هذا العمل في انجاز مركب تجريبي بذاكر جي لقياس قوة الحمل للجناح، ويشتمل هذا الجهاز على ميزان ماسو-ديناميكي لقياس قوة الحمل للجناح الموضوع بداخل منفخة الهواء بالمخبر الهياقوي، وكذلك على مسير لسرعة ومقياس الحرارة، هذان الآثرين يستعملان لمعرفة خواص الهواء المتحرك بداخل المنفخة وكل هذا سيسمكنا عن معرفة ظاهرة الجناح المستعمل.

Résumé.

Le sujet consiste à réaliser un banc d'essai de mesure de la portance d'une aile; celui-ci comprend alors une balance aérodynamique pour mesure de la portance de l'aile plongée dans la soufflerie du laboratoire, une sonde de vitesse, et un thermomètre afin de connaître les paramètres de l'air circulant. Ce qui va nous permettre de relever la caractéristique de notre aile.

Summary.

The point of this work is realizing a test rig that permits to measure the wing lift. It is compounded of a aerodynamic balance measuring the lift of a wing installed within a laboratory wind tunnel, of a Pitot head and of a thermometer, the two later for determination of air wind parameters. This set permits to reveal the lift characteristics in function of the angle of attack.

SOMMAIRE

	page.
I - Introduction	1
II - But du Projet	3
III - Généralités	5
1 - Ecoulement dans les tuyères	5
2 - Equation de Bernouilli	6
3 - Equation de saint-Venant	7
4 - Pression statique, dynamique et totale	9
5 - Température statique et totale	11
6 - Masse Volumique	12.
7 - L'air peut être assimilé à un gaz parfait	13
8 - Compressibilité de L'air	13
IV - Mesure de la vitesse Locale	15.
1 - Principe de mesure de la vitesse de l'air	15
2 - Tube de Pitôt	15
3 - Tube de DARCY.	17
4 - Tube de Prandtl	19
V - Travaux effectués.	23.
1 - Amélioration de la fidélité de la balance	23
2 - Vérification de la fidélité de la balance	24.
3 - Réalisation du dispositif de mesure de la vitesse Locale.	29

4 - Mode de fixation de l'aile.	34
5 - Dispositif d'orientation de l'aile.	36
6 - Installation d'un thermomètre à la soufflerie	38
7 - Sondage de la veine	39
VI - Principe de fonctionnement du Banc d'essai	43
1 - Balance aérodynamique	43
2 - Fonctionnement de la balance	45
3 - Mesure de la vitesse locale	54
VII - Tests et Résultats.	57
1 - Manipulations	57.
2 - Mesures des tests	59
3 - Exploitation de ces mesures.	60
VIII - Conclusion	65

INTRODUCTION

Les phénomènes aérodynamiques interviennent dans un très grand nombre de problèmes, chaque fois qu'un corps se trouve en mouvement relatif par rapport à un fluide. L'écoulement dans une tuyère, le déplacement d'un mobile dans l'air mettent en cause des phénomènes physiques soumis aux lois de l'aérodynamique ou plus généralement de la mécanique des fluides.

Des travaux ont été entrepris depuis plusieurs siècles sur le plan théorique comme celui de la découverte de lois expérimentales. En raison des problèmes posés par les programmes d'avions modernes, les recherches aérodynamiques tiennent maintenant une place considérable dans les différents domaines concernés; les théoriciens ont la possibilité de traiter numériquement des problèmes jusqu'ici insurmontables, les physiciens et les ingénieurs disposent de moyens de simulation de vol et d'appareillage de mesure mieux adaptés.

La technique des essais sur modèle réduit est un moyen de simulation qui permet d'étudier un bon nombre de problèmes. Ce moyen de simulation n'est autre que des lois de similitudes. Nous utiliserons ce moyen de simulation pour mesurer les forces aérodynamiques pesant sur l'aile.

Les appareils ou Instruments de mesure, ces mesures qui peuvent être locales ou globales, donnent souvent de bons résultats.

Nous mesurons la vitesse de l'air en écoulement dans la tuyère ainsi que la température de cet air avec ces instruments de mesure.

IBUT DU PROJET

Nous nous disposons d'une soufflerie dans notre laboratoire et de deux travaux faites par Mr. Di Fallah et Mr. Djouadi.

Mr. Di Fallah a fait une étude théorique sur cette soufflerie, a déterminé les caractéristiques aérodynamiques et géométriques du N.A.C.A 4409, ainsi que ces coordonnées, et la réalisation de ce dernier.

Il a fait aussi une étude sur une balance aérodynamique permettant la mesure direct des efforts s'exerçant sur l'aile.

Comme suite de ce travail, Mr. Djouadi a fait l'étude et la réalisation d'une balance aérodynamique permettant la mesure de la portance qui s'exerce sur cette aile en modèle réduit déjà disponible dans notre laboratoire.

Notre tâche est au premier lieu d'améliorer la fidélité de cette balance déjà réalisée, ensuite installer une sonde de vitesse qui nécessite une installation de prise de pression statique, dynamique et totale. Et aussi installer un thermomètre afin de relever la température du vent dans la soufflerie.

Connaissant cette dernière c'est-à-dire la température et la pression statique, nous pouvons connaître avec exactitude la masse volumique du vent dans la soufflerie en assimilant l'air circulant à un gaz parfait.

Ensuite nous allons réaliser la fixation de l'aile à cette balance, tout en assurant une orientation variable afin de mesurer la portance exercée sur cette aile.

En dernier lieu, connaissant la vitesse, la masse volumique du vent dans la soufflerie, la surface de l'aile plongée dans celle-ci et la portance exercée sur l'aile, nous allons relever ou encore tracer la caractéristique de notre aile.

En résumé, nous concevons un banc d'essai de mesure de portance exercée sur une aile, qui va rendre cette soufflerie existante dans notre laboratoire opérationnelle.

GENERALITES

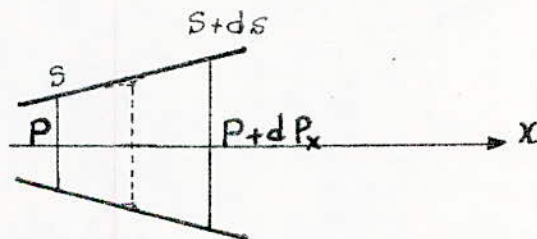
1. Ecoulement dans les tuyères

Toute étude énergétique des écoulements dans les tuyères est basée sur les équations suivantes :

- Equation de continuité.
- Equation de quantité de mouvement.
- Equation d'énergie.

sur cette base, nous allons faire une étude sur l'écoulement unidimensionnel d'un gaz parfait sans frottement :

Soit un fluide traversant une tuyère



s - étant une section dans la tuyère.

P - étant la pression en tout points de la section s .

Appliquant l'équation de quantité de mouvement on a :

$$\Sigma \vec{F} = m \vec{\gamma}$$

$$= (s + \frac{ds}{2}) dx \rho \frac{d\vec{V}}{dt} =$$

$$= P \cdot s - (P + dP_x) (s + \frac{ds}{2}).$$

on néglige $\frac{ds}{2}$ devant s .

$$\text{d'où} \quad s dx \rho \frac{dV}{dt} = s (P - P - dP_x).$$

$$dx \rho \frac{dV}{dt} = - dP_x.$$

- 6 -

$$\frac{dv}{dt} = \frac{\partial v}{\partial t} dt + \frac{\partial v}{\partial x} v.$$

$$\text{alors on a } dx \rho \left(\frac{\partial v}{\partial t} + \frac{\partial v}{\partial x} v \right) = - dP_x$$

$$\rho \left(\frac{\partial v}{\partial t} + \frac{\partial v}{\partial x} v \right) = - \frac{\partial P}{\partial x}.$$

$$\frac{\partial v}{\partial t} + \frac{\partial v}{\partial x} v + \frac{1}{\rho} \frac{\partial P}{\partial x} = 0.$$

Pour un écoulement permanent $\frac{\partial v}{\partial t} = 0$

finalement on a :

$$\frac{\partial v}{\partial x} v + \frac{1}{\rho} \frac{\partial P}{\partial x} = 0.$$

c'est l'équation de mouvement d'un fluide en écoulement permanent.

2 - Equation de Bernouilli

Cette équation est obtenue par intégration de l'équation de mouvement précédente avec la condition que la masse volumique du fluide est constante.

$$\text{on obtient : } P + \frac{1}{2} \rho v^2 = c \text{te.}$$

$$\text{ou encore } \frac{P}{\rho} + \frac{1}{2} v^2 = c \text{te.}$$

Pour une masse unité : $\frac{v^2}{2}$ est l'énergie cinétique, $\frac{P}{\rho}$ est l'énergie potentielle de pression, la somme de ces deux énergies est l'énergie potentielle de pression totale.

$$\text{d'où } P + \frac{1}{2} \rho v^2 = P_t.$$

P_t étant la pression totale du fluide.

A partir de cette formule on peut deduire la vitesse d'écoulement du fluide :

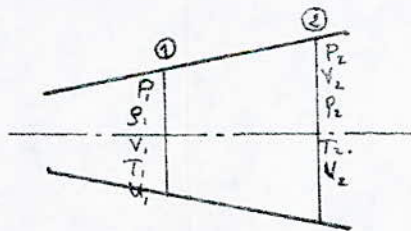
$$V = \sqrt{\frac{2(P_2 - P)}{\rho}}$$

L'équation de Bernoulli n'est applicable que pour un fluide incompressible en écoulement permanent.

3- Equation de Saint-venant.

La masse volumique d'un fluide en mouvement n'est pas forcément constante, c'est à dire pour les fluides compressibles l'équation de Bernoulli n'est plus applicable

Soit un fluide compressible en écoulement dans une tuyère ; cet écoulement s'effectue sans échange de chaleur, d'énergie mécanique, chimique avec le milieu extérieur (système isotherme)



Appliquant à ce fluide le premier principe de la thermodynamique avec les suppositions faites on a

$$P_1 V_1 + g z_1 + U_1 + \frac{1}{2} V_1^2 = P_2 V_2 + g z_2 + \frac{1}{2} V_2^2 + U_2$$

Pour un gaz compressible adiabatique

$$U + PV + \frac{1}{2} V^2 = c = \text{cte.}$$

le facteur $g z$ est négligeable.

En faisant apparaître l'enthalpie on écrit:

$$H_s + \frac{1}{2} V^2 = c = \text{cte.}$$

H_s : étant l'enthalpie statique
 $\frac{1}{2} V^2$: étant l'énergie cinétique } enthalpie totale (H_t)

$$H_t = H_s + \frac{1}{2} V^2$$

c'est l'équation d'énergie.

Appliquant ceci pour un écoulement isentropique dans une tuyère

on a $H = c_p T$

$$\Rightarrow H_t = c_p T + \frac{1}{2} V^2$$

d'autre part $c_p = \frac{\gamma}{\gamma-1} r \Rightarrow H_t = \frac{\gamma}{\gamma-1} r T + \frac{1}{2} V^2$.

$$H_t = \frac{\gamma}{\gamma-1} \frac{P}{\rho} + \frac{1}{2} V^2$$

de ceci on a :

$$\frac{1}{2} V_1^2 + \frac{\gamma}{\gamma-1} \frac{P_1}{\rho_1} = \frac{1}{2} V_2^2 + \frac{\gamma}{\gamma-1} \frac{P_2}{\rho_2}$$

$$\Rightarrow \frac{V_1^2 - V_2^2}{2} = \frac{\gamma}{\gamma-1} \left[\frac{P_2}{\rho_2} - \frac{P_1}{\rho_1} \right]$$

$$\text{or } \frac{P_1}{\rho_1^\gamma} = \frac{P_2}{\rho_2^\gamma} \Rightarrow \rho_2 = \rho_1 \left(\frac{P_1}{P_2} \right)^{\frac{1}{\gamma}}$$

en utilisant ceci on a :

$$\frac{V_1^2 - V_2^2}{2} = \frac{\gamma}{\gamma-1} \left[\frac{P_2}{\rho_2} \cdot \frac{\rho_1}{\rho_1} - 1 \right] \frac{P_1}{\rho_1}$$

$$= \frac{\gamma}{\gamma-1} \left[\frac{P_2}{\rho_1} \cdot \left(\frac{P_1}{P_2} \right)^{\frac{1}{\gamma}} \frac{\rho_1}{\rho_1} - 1 \right]$$

finallement :

$$\frac{V_1^2 - V_2^2}{2} = \frac{\gamma}{\gamma-1} \frac{P_1}{\rho_1} \left[\left(\frac{P_2}{P_1} \right)^{\frac{\gamma-1}{\gamma}} - 1 \right]$$

L'équation de Saint-Venant n'est qu'un cas particulier de cette équation avec $v_1 = 0$

$$\text{d'où} \quad -\frac{V^2}{2} = \frac{\gamma}{\gamma-1} \frac{P_1}{\rho_1} \left[\left(\frac{P_2}{P_1} \right)^{\frac{\gamma-1}{\gamma}} - 1 \right]$$

$$\text{ou encore} \quad V = \sqrt{\frac{2\gamma}{\gamma-1} \frac{P_2}{\rho_2} \left[1 - \left(\frac{P_2}{P_3} \right)^{\frac{\gamma-1}{\gamma}} \right]}$$

cet équation permet de calculer la vitesse du fluide en écoulement, en connaissant la pression statique et totale de ce fluide compressible.

En conclusion nous avons vu comment on peut calculer la vitesse du fluide en écoulement permanent connaissant la pression statique et totale, ainsi que la masse volumique et ceci pour un fluide incompressible ou compressible.

4 - Pression statique, dynamique et totale.

a - Pression statique :

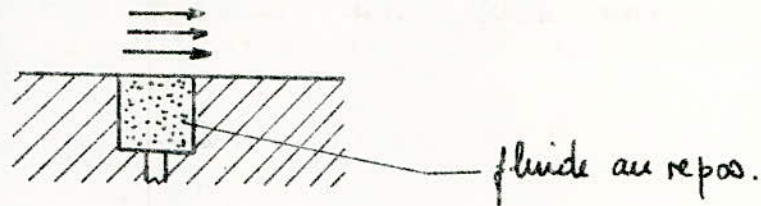
C'est la pression du fluide au repos dans un récipient c'est à dire la vitesse du fluide est nulle.

si on a le fluide en écoulement dans une conduite, la pression statique est la pression mesurée lorsque on se trouve à l'intérieur de la conduite et on se déplace avec le fluide avec la même vitesse, on voit que c'est impossible de faire une mesure pareille.

Le principe de mesure de la pression statique d'un fluide en

écoulement dans une conduite est le suivant :

un trou de faible diamètre dans une paroi de la conduite donne lieu à un écoulement avec fluide mort.



Il s'établit une couche limite entre le fluide en mouvement et le fluide au repos, la pression est constante dans le trou et égale à celle qui règne de l'autre côté de la couche limite puisque $\frac{\partial P}{\partial r} = 0$ à travers une couche limite à rayon de courbure infini. On prend généralement le diamètre d du trou de l'ordre de 0,4 à 1 mm.

b. Pression dynamique :

C'est la pression due à la vitesse du fluide dans la conduite.

Elle agit sur l'orifice d'un tube placé dans le sens contraire du courant, en augmentant la pression statique d'une valeur proportionnelle au carré de la vitesse du fluide.

Cette pression résultant de la force vive du fluide, s'exprime par la formule :

$$P_d = \frac{1}{2} \rho V^2.$$

Dans laquelle :

P_d : est la pression dynamique (en Pascals).

ρ : est la masse volumique du fluide (kg/m^3).

v : est la vitesse du fluide (en m/s).

c - Pression totale :

La pression totale est la somme des pressions statique et dynamique, un simple tube recourbé dont la partie antérieure est disposée parallèlement à la vitesse et l'encolure du courant, mesure la pression totale.

$$P_t = P_s + \frac{1}{2} \rho v^2.$$

5 - Temperature statique et totale

a - Temperature statique.

C'est la temperature du fluide quand celui-ci est au repos, et pour un fluide en mouvement, c'est la temperature mesuree quand on voyage avec le fluide avec la même vitesse de celui-ci, comme si on a ce fluide au repos.

La mesure ou l'appréciation de la temperature repose sur cette augmentation du volume des corps lorsque la temperature augmente. On mesure l'augmentation $\Delta \theta$ de la temperature par l'augmentation relative $\frac{\Delta V}{V}$ du volume.

Le thermometre à dilatation est un instrument qui permet de mesurer cette temperature.

b - Temperature totale.

C'est la temperature du fluide si on arrête totalement celui-ci.

appelé encore température d'arrêt.

De l'équation d'énergie pour un fluide compressible adiabatique

$$H_0 + \frac{1}{2} V^2 = H_t.$$

On sait que pour un gaz parfait

l'enthalpie statique $H_s = c_p T_s$

l'enthalpie totale $H_t = c_p T_t$.

d'où
$$c_p T_s + \frac{1}{2} V^2 = c_p T_t.$$

$$T_t = T_s + \frac{1}{2 c_p} V^2.$$

L'énergie cinétique se transforme en énergie thermique et s'ajoute à l'énergie du fluide.

6-Masse volumique

La masse volumique d'un corps est la masse de l'unité de volume de ce corps, pour le gaz et les vapeurs le volume d'une masse donnée varie avec la température et la pression, il en résulte que la masse volumique des gaz dépend de la température et de la pression.

Pour un gaz parfait, on peut déterminer sa masse volumique en connaissant sa pression et sa température.

d'après la loi des gaz parfaits

$$\rho = \frac{P}{R.T}$$

P: étant la pression statique (en Pascals).

T : étant la température statique ($^{\circ}K$)

r : étant le constant de ce gaz parfait.

7. L'air peut être assimilé à un gaz parfait

Aux températures modérées et sous des pressions pas trop élevées, l'air peut être assimilé à un gaz parfait, c'est à dire obéissant aux lois de Mariotte et de Gay-Lussac qui se résumement à

$$PV = RT.$$

cette dernière appelée équation caractéristique des gaz parfaits. L'équation caractéristique est valable en tout point d'un fluide, en équilibre ou en mouvement.

8. Compressibilité de l'air

L'air est compressible, assimilé à un gaz parfait, et dans une transformation isentropique on a :

$$\frac{dP}{P} = \gamma \cdot \frac{dS}{S}.$$

Si ΔP est suffisamment faible, ΔS peut être négligé ou en core $\Delta S = 0$ comme si on a la masse volumique ρ constante qui est l'équation d'état d'un fluide incompressible.

D'autre part, les variations de pression auxquelles donne lieu le mouvement relatif d'un corps dans un fluide sont liées aux vitesses relatives. Elles sont d'autant plus grande que les vitesses sont élevées, il en résulte que l'incompressibilité de l'air est une hypothèse légitime tant que les vitesses

sont faible, on peut démontrer ceci aisément.

A partir de l'équation d'écoulement unidimensionnel

$$\frac{dP}{\rho} + v dv = 0$$

utilisant la vitesse du son $a^2 = \frac{dP}{d\rho}$.

la vitesse du son est une fonction de la température.

utilisant encore le nombre de Mach $M = \frac{v}{a}$.

L'équation I donne :

$$\frac{dP}{\rho} + \frac{dv}{v} \frac{v^2}{a^2} \cdot a^2 = 0$$

$$\frac{dP}{\rho} + \frac{dv}{v} M^2 \frac{dP}{d\rho} = 0$$

$$\frac{dP}{\rho} \frac{d\rho}{dP} + \frac{dv}{v} M^2 \frac{dP}{d\rho} \frac{d\rho}{dP} = 0$$

$$\frac{d\rho}{\rho} + \frac{dv}{v} M^2 = 0$$

Cette expression montre qu'une variation relative de vitesse $\frac{dv}{v}$ produit une variation corrélatrice de masse volumique d'autant plus grande que le nombre de mach est grand.

Exemples pour apprécier ceci :

$$M = 0,10 \quad \frac{\Delta\rho}{\rho} = 0,9\%$$

$$M = 0,14 \quad \frac{\Delta\rho}{\rho} = 1,9\%$$

On remarque que pour un nombre de Mach faible, la variation relative de la masse volumique est très faible.

On conclut pour de faibles vitesses, l'air peut être considéré comme un fluide incompressible.

MESURE DE LA VITESSE LOCALE

1. Principe de mesure de la vitesse de l'air

Précédemment nous avons vu qu'on peut considérer l'air comme un fluide incompressible.

A partir de l'équation de Bernoulli vu dans le chapitre précédent que pour un fluide incompressible en écoulement permanent la vitesse d'écoulement est donnée par :

$$V = \sqrt{\frac{2}{\rho} (P_t - P_s)}$$

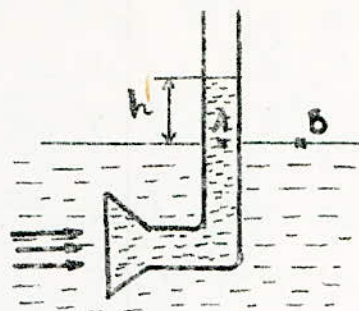
Alors pour mesurer la vitesse du fluide dans une veine nous mesurons la différence entre la pression totale et statique c'est à dire la pression dynamique.

L'instrument qui peut nous donner cette différence de pression est le tube de pitôt ou Prandtl.

Il faut connaître aussi la masse volumique du fluide pour connaître cette dernière, il faut mesurer la température et la pression statique de la veine.

2. Tube de Pitôt

C'est en 1732, que le savant français HENRI PITOT proposa le premier instrument qui porte son nom. Il servait uniquement à mesurer la pression totale et par suite la vitesse des courants d'eau



Le tube de pitot se composait d'un tube de cuivre recourbé à angle droit dont la branche horizontale munie à son extrémité d'une pavillon plongeant en entier dans l'eau, parallèlement au courant, l'ouverture du pavillon était dirigée à l'encontre du courant. L'eau monte dans la branche verticale à un niveau d'autant plus élevée au dessus du niveau d'eau, que la vitesse du courant était elle même plus grande, c'est à dire l'énergie cinétique du fluide est transformée en énergie potentielle de pression.

$$P_A = P_B \Rightarrow P_{at} + \rho g h = P_s + \frac{1}{2} \rho v^2$$

P_A, P_B c'est la pression totale.

Comme c'est un écoulement à l'air libre $P_s = P_{at}$.

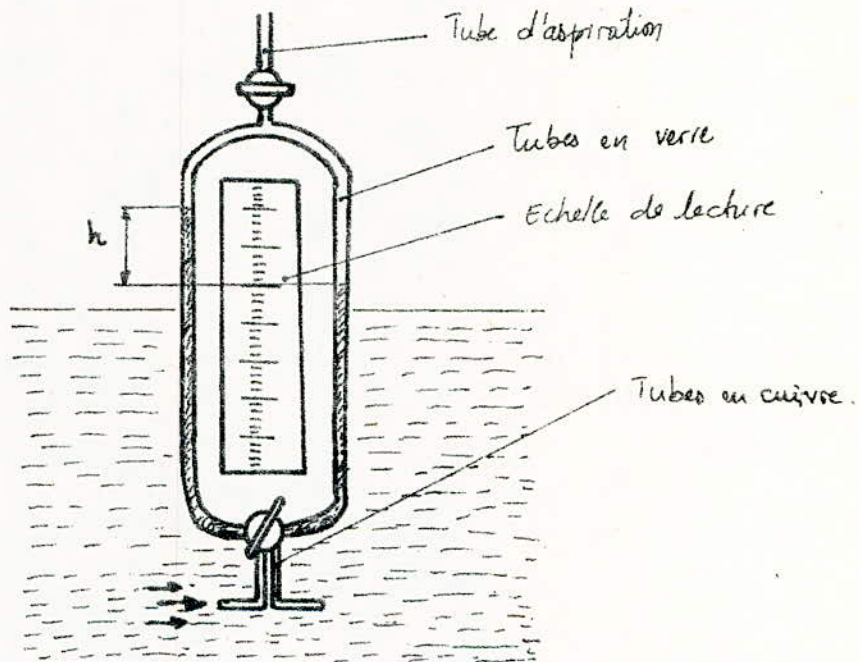
$$\Rightarrow \rho g h = \frac{1}{2} \rho v^2 \Rightarrow h = \frac{v^2}{2g}$$

De cette manière Mr. HENRI PITOT a déterminé la vitesse de l'écoulement de l'eau.

Dés lors ce tube ne c'est arrêté d'être perfectionner.

3 - Tube de Darcy

En 1856, Darcy perfectionna le tube de pitôt et le nouvel instrument, appelé « tube de Pitôt de Darcy » fut également utilisé par son auteur pour la mesure de la vitesse des cours d'eau.



Pour utiliser l'instrument, on plongeait les tubes en cuivre dans l'eau, parallèlement au sens du courant.

Dans la branche située à l'encontre du courant, le liquide montait au dessus du niveau de l'eau, dans la branche située en sens inverse, le liquide descendait en dessous du niveau de l'eau. Pour faire la lecture plus aisément, on pouvait ramener les niveaux dans les tubes au-dessus du niveau de l'eau, en créant une aspiration à l'ajutage supérieur, cette aspiration ne modifiait pas la dénivellation entre les branches du tube.

La théorie qui régit le fonctionnement du tube de Darcy est la suivante :

Le tube situé à l'encontre du courant, mesure la somme de la pression statique et de la pression dynamique on a donc

$$P_s + \rho \frac{V^2}{2}$$

Le tube situé en sens inverse du courant mesure la différence de la pression statique et la pression dynamique on a donc :

$$P_s - k \cdot \rho \frac{V^2}{2}$$

Le coefficient k tient compte de l'influence des remous provoqués par le tube lui-même sur le second orifice. Il est établi expérimentalement. En soustrayant algébriquement les deux termes ci-dessus, on obtient la pression différentielle que nous désignerons par la lettre h .

$$h = \rho \frac{V^2}{2} (1 + k)$$

C'est à dire la différence de pression lue sur les tubes en verre. Toujours étalonnés après construction, les tubes de Darcy donnent des indications coïncidant le plus souvent avec les valeurs théoriques c'est à dire que le coefficient k est égal à 1, on peut écrire donc

$$h = \rho \frac{V^2}{2}$$

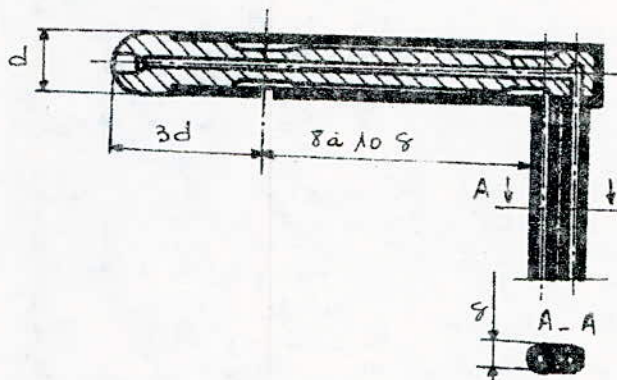
h : pression différentielle lue sur les tubes (en Pascals)

ρ : masse volumique du fluide dans la conduite (kg/m^3)

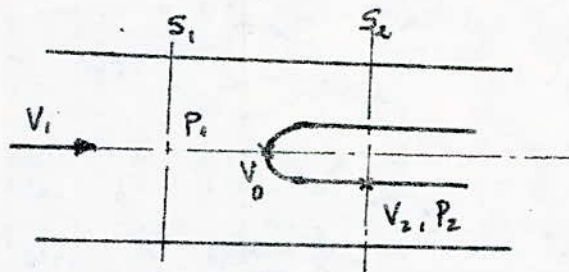
V : vitesse du fluide (m/s).

- Tube de Prandtl

: tube de Prandtl mesure la différence entre la pression totale et la pression statique c'est à dire la pression dynamique



Considérons, ci-dessous un tube de Prandtl placé au centre d'une conduite dans laquelle circule un fluide avec une vitesse V_1 et une pression statique P_1 .



On constate qu'à l'entrée de la prise de pression totale, la veine fluide est arrêtée et sa vitesse est nulle.

Cet endroit porte le nom de point de stagnation.

Appliquons l'équation de Bernoulli, dans les sections S_1 et S_2

nous aurons :

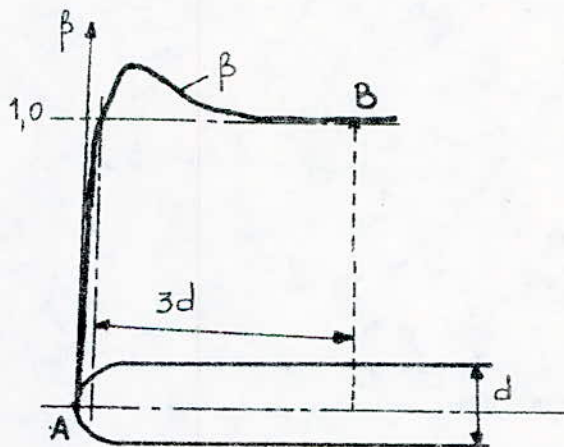
$$P_1 + \rho \frac{V_1^2}{2} = P_2 + \rho \frac{V_2^2}{2}$$

Posons maintenant que : $\beta = \frac{V_2^2}{V_1^2}$.

nous aurons

$$P_2 = P_1 - (\beta - 1) \rho \frac{V_1^2}{2}$$

Or l'expérience montre qu'en déplaçant la section S_2 le long du tube de Prandtl, le coefficient β varie comme indiqué par la courbe suivante :



L'examen de cette courbe montre qu'au point A, le coefficient β est nul, c'est à dire qu'en ce point, la vitesse V_2 est nulle et la pression statique est augmentée de la valeur de la pression dynamique.

$$P_A = P_1 - (0 - 1) \rho \frac{V_1^2}{2}$$

d'où

$$P_A = P_1 + \rho \frac{V_1^2}{2}$$

Par contre au point B, le coefficient est égale à 1, ce qui signifie

qu'en ce point, les vitesses V_1 et V_2 sont égales, d'où l'égalité des pressions statiques P_1 et P_B

$$P_B = P_1 - (1 - \beta) \rho \frac{V^2}{2}$$

$$P_B = P_1.$$

D'où, entre les points A et B, on a une différence de pression égale à:

$$P_1 + \beta \frac{\rho V^2}{2} - P_1$$

$$\text{c'est à dire } \beta \frac{\rho V^2}{2}.$$

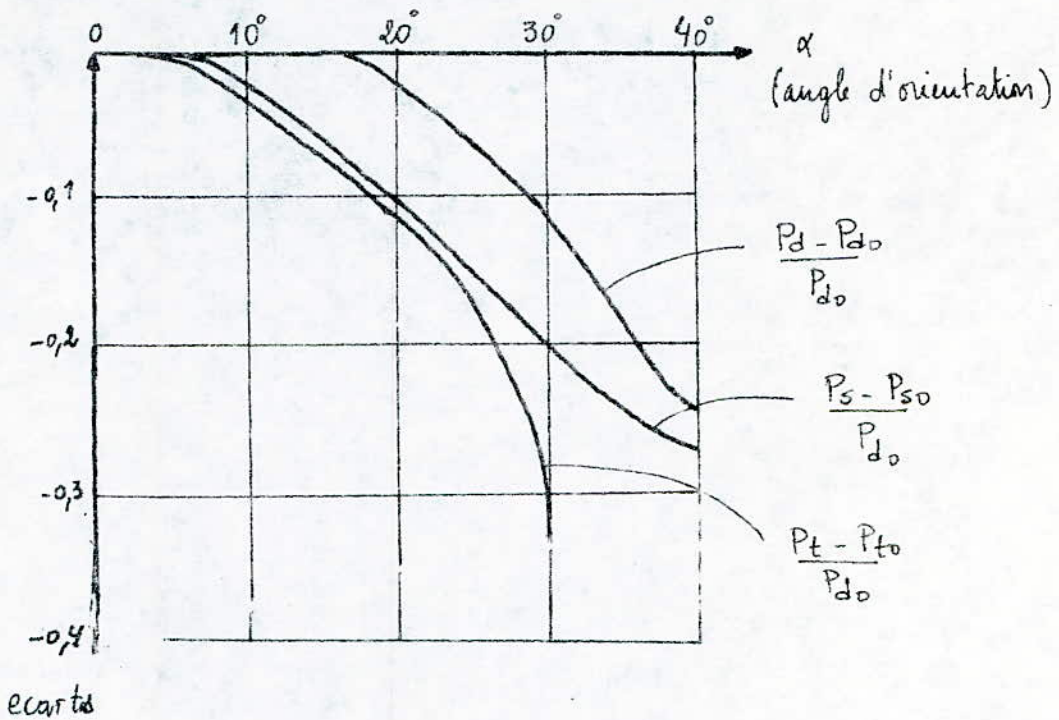
c'est la pression dynamique du fluide considéré.

Remarques:

Pour obtenir des mesures précises, il est nécessaire que l'axe du tube de Pitot soit dans le même sens que celui du courant fluide.

Une erreur d'orientation supérieure à 15° provoque une erreur sur la mesure de la pression différentielle de 1% environ, car le coefficient β que nous venons de définir précédemment varie d'une manière différente que celle indiquée pour un angle d'inclinaison nul, et par suite la vitesse V_2 est différente de V_1 au point B, de même que pour le point A la vitesse en ce point n'est pas nulle.

Le graphique suivant donne les écarts sur les quantités mesurées rapportés à la pression différentielle (P_{D0}) dans le domaine incompressible pour un tube de Prandtl.



P_{d0} : pression dynamique pour $\alpha=0$

P_{s0} : pression statique pour $\alpha=0$

P_{t0} : pression totale pour $\alpha=0$.

De toute manière, en général la vitesse est déterminée à 0,5%.

préc.

En conclusion, le tube de Pitôt, Darcy ou Prandtl ont l'avantage de ne créer presque aucune perte de charge dans le circuit du fluide lors de leurs utilisations.

Ils sont très pratiques et si faciles de les installer pour mesure de la vitesse.

TRAVAUX EFFECTUES

1. Amélioration de la fidélité de la balance
Notre banc d'essai comporte une balance aérodynamique permettant la mesure de la portance exercée sur l'aile.

La réalisation de cette balance qui a donné des résultats inexactifs après essais n'était pas au point et apte pour aucune utilisation.

Les résultats des essais faites sur la balance (polycopie de Mr. Djouadi) montre une mauvaise fidélité de cette balance, c'est à dire pour un même effort appliqué sur le levier de la balance, on a deux lectures différentes sur le tube gradué pour des temps différents.

La précision estimée lors de ces dernières essais était de l'ordre de 5%.

L'emploi d'une membrane moins épaisse de l'ordre de 1 mm, que celle utilisée et avec une rigidité plus faible, dans le transmetteur de force comme a été figuré va nous permettre d'obtenir une meilleure fidélité de la balance.

Dans le même but c'est à dire pour améliorer la fidélité de la balance, nous avons utilisé un tube gradué de plus grand diamètre que celui utilisé avant.

Pour une meilleure emplacement de la membrane, nous avons

été amené à adapter un nouveau montage de la membrane, pour avoir une certaine liberté dans l'emplacement de celle-ci; pour ce faire nous avons échangé tout le transmetteur de force, une cuve en plexi-glas (figure n°1), et un anneau pour fixation de la membrane tout en assurant une bonne étanchéité.

2. Vérification de la fidélité de la balance

Après avoir changé la membrane du transmetteur de force de notre balance, nous avons procédé à des essais permettant de contrôler le bon fonctionnement de la membrane

Pour simuler la portance qui s'exerce sur la maquette, nous avons matérialisé celle-ci par des poids obtenus à partir de différents volumes d'eau (Figure n°2).

Le poids étant dirigé dans le sens contraire de la portance que l'on a à mesurer, tous les effets que l'on pourrait obtenir par cette méthode sont inversés. Pour tester le fonctionnement de la balance, nous avons imposé à la membrane une certaine pression initiale P_0 . cette pression est obtenue par l'utilisation d'un contre-poids placé sur le levier de la balance du côté du transmetteur de force. sous l'effet du contre-poids un volume V_0 est chassé dans le tube, ce qui entraîne une dérivation d'eau d'une hauteur h_0 .

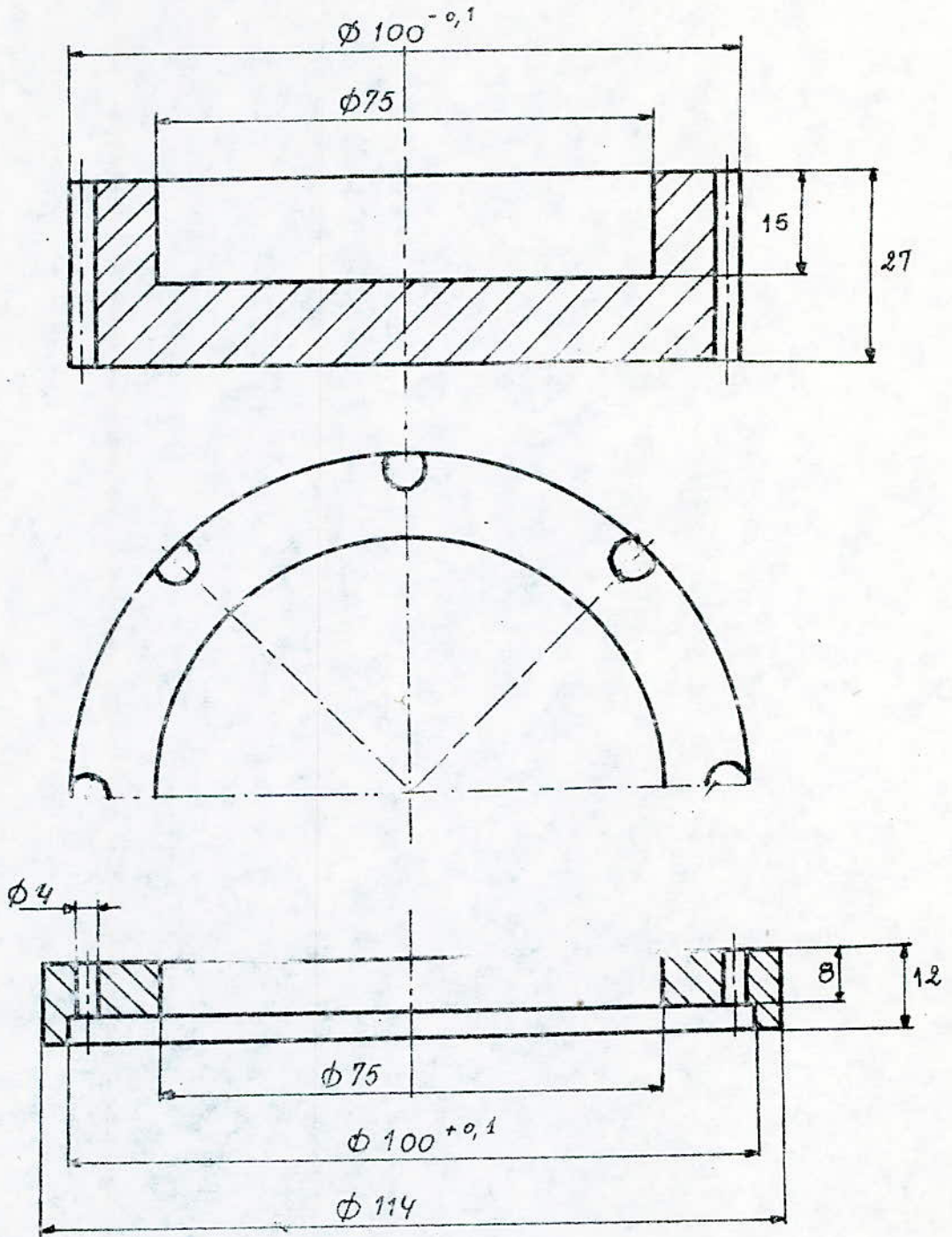


figure n° 1 Récipient avec grille-membrane.

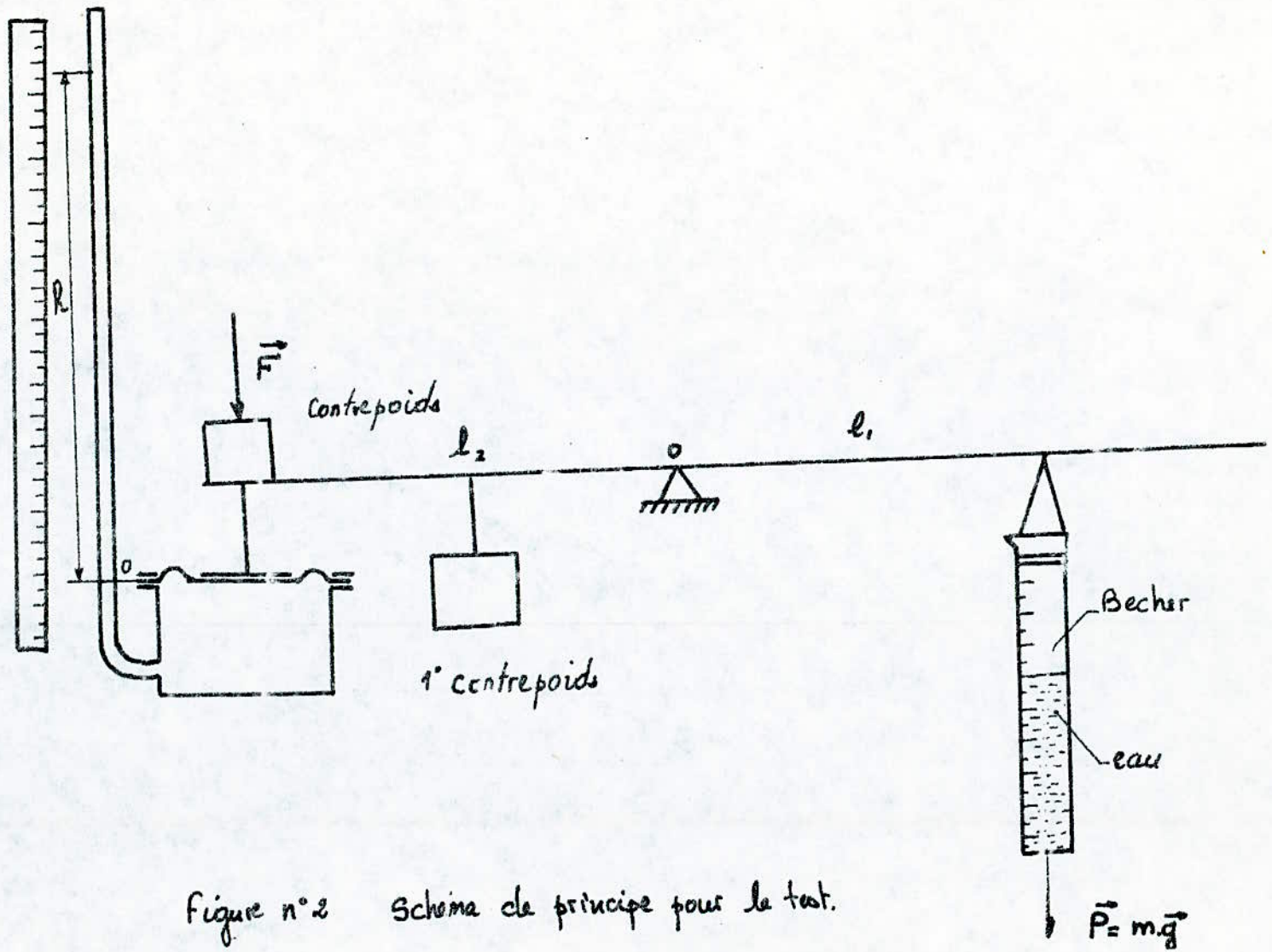


Figure n°2 Schéma de principe pour le test.

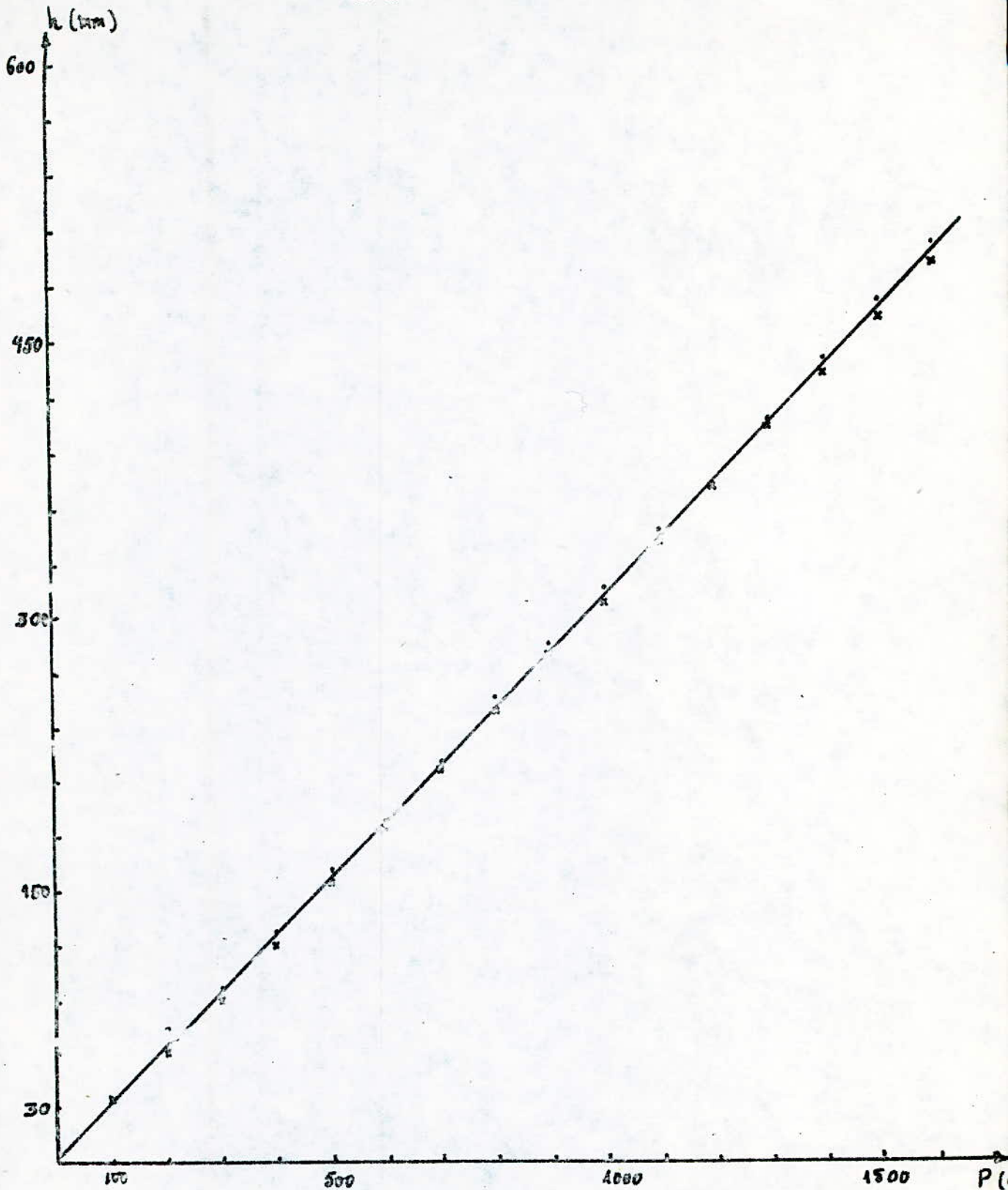
sous l'action d'un poids connu, placé en un point connu sur l'axe portant l'aile ; la force due au contre-poids tend à être équilibrée entraînant ainsi une diminution de hauteur h dans le tube.

La hauteur $h_0 - h$ doit être proportionnelle au poids appliqués.

Pour pouvoir varier l'effort appliqué à l'extrémité du levier, nous avons utilisé une beche dans lequel nous avons versé des quantités d'eau variant de 100 à 100 g. Pour chaque effort appliqué, nous avons relevé les valeurs $h - h_0$ correspondante.

Le test a été effectué aussi bien dans le sens croissant des poids, que dans le sens décroissant, pour ce dernier, nous avons commencé à partir de la valeur maximale, des poids de 100 à 100 g. Nous avons fait ce test plusieurs fois afin d'être sûr de notre test.

Les résultats obtenus pour les deux sens sont cohérents et nettement meilleurs que celle obtenus par l'ancienne membrane (utilisée par Mr. Djouadi), une courbe représentative traduit ces résultats. Les points obtenus lors du test son linéaire, et on peut dire que notre courbe est une droite d'équation $y = kx$ avec erreurs de manipulation et de lecture à cause de la capillarité près, la droite obtenue par l'essai de poids croissants est presque confondue avec celle obtenue par l'essai de poids décroissants.



Courbe représentative expérimentale du test de la membrane.

• points expérimentaux dans le sens croissant des efforts.

x " " " " décroissant " "

On conclut, que notre balance fonctionne bien ainsi que sa fidélité est bonne.

3. Réalisation du dispositif de mesure de la vitesse locale.

a. Réalisation du tube de pitôt.

Le tube de pitôt, comme nous avons indiqué permet de mesurer la pression totale d'un fluide en écoulement.

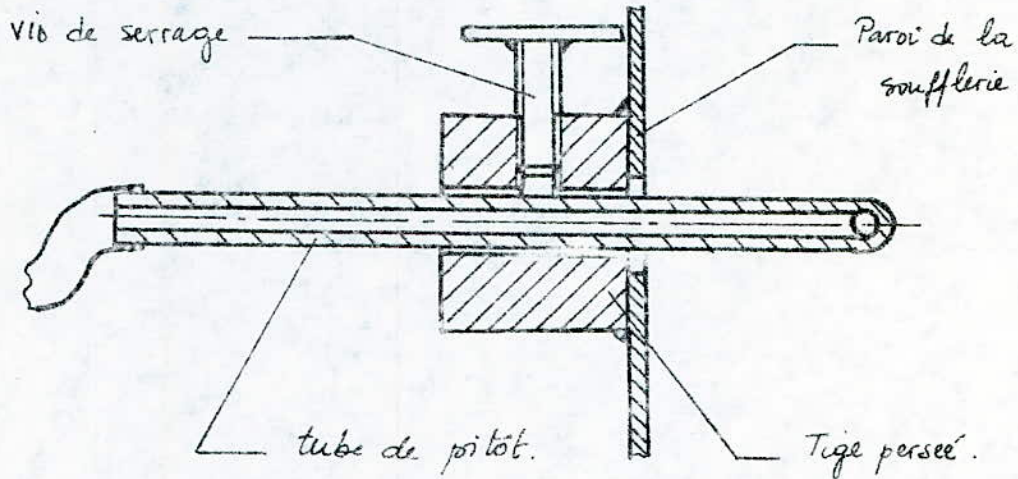
Pour réaliser ceci, nous avons pris un tube en cuivre de diamètre intérieur et extérieur respectivement 4 et 6 mm, et nous l'avons courbé à angle droit, la branche horizontale est plongée dans la soufflerie parallèlement au courant, dont l'ouverture est dirigée à l'encontre du courant.

Nous avons choisi un tube de diamètre petit pour ne pas perturber l'écoulement du fluide, qui a une influence directe sur la mesure de la portance s'exerçant sur l'aile.

Pour la fixation de ce tube à la soufflerie existante nous avons conçu un dispositif qui va nous permettre de translater le tube avec un vis de serrage afin de fixer le tube à la position voulue, la translation de ce tube que de plus nous l'avons graduée tout les 5 cm se fait suivant l'axe de symétrie horizontal de la section de la soufflerie où on va placer notre aile qui est liée à la balance.

De cette façon, on va prendre des mesures en des points bien fixés et repérés

Notre tube de pitôt avec le système cité :



Pour pouvoir lire ces mesures, nous avons relié ce tube de pitôt à un poste de mesure.

b - Poste de mesure.

Pour déterminer la vitesse d'un fluide incompressible en écoulement permanent, il nous faut la pression statique et totale, et la masse volumique de ce fluide.

Pour déterminer ces paramètres, nous avons pris deux prises de pression : une statique et l'autre totale, de la soufflerie.

La prise de pression statique nous l'avons fait à la paroi à l'aide d'un trou percé sur la paroi pour ce faire.

La prise de pression totale est obtenue par le tube de pitôt.

Notre dispositif de mesure comprend alors (Figure n°3) :

- un tube en U vertical, c'est un tube en verre recourbé en forme de U, et fixé sur une planchette graduée en millimètres.

Les lectures se font en mesurant la différence de niveau du liquide (dans notre tube il y a de l'eau) dans les deux branches et se lisent en millimètres de colonne du liquide utilisé.

$$P = \rho g h.$$

formule dans laquelle

P : pression mesurée.

ρ : masse volumique du liquide utilisé (eau)

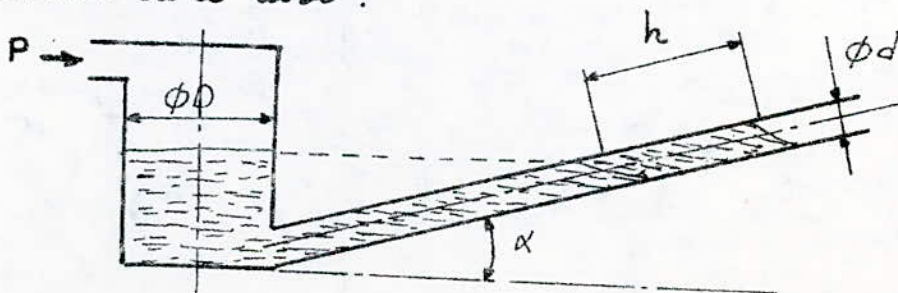
g : accélération de la pesanteur.

h : différence de niveau dans les deux branches.

Ce tube en U nous l'avons réalisé et monté pour mesurer la pression statique dans la soufflerie par rapport à la pression atmosphérique.

- un tube en U à branche inclinée.

schéma de ce tube :



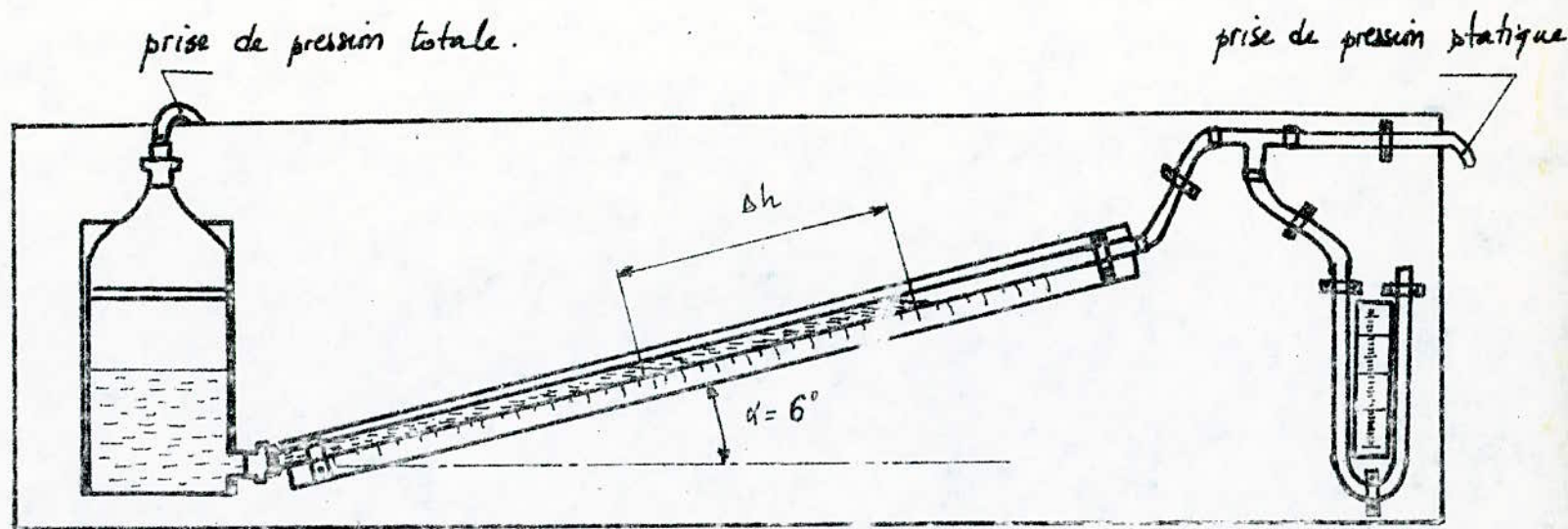


Figure n° 3 Poste de mesure.

Le tube en U à branche inclinée dont l'une a un diamètre plus grand que celui de l'autre branche, il nécessite qu'une seule lecture.

L'équation d'équilibre du tube est donnée par la formule

$$P = \left(1 + \frac{d^2}{D^2}\right) \rho g h \cdot \sin \alpha.$$

si on prend par exemple, un tube en U dont le diamètre des branches sont respectivement $D = 100 \text{ mm}$ et $d = 10 \text{ mm}$

Nous avons $H = \frac{h}{100}$

H : déplacement dans la branche dont le diamètre est grand.

h : déplacement du fluide dans l'autre branche.

La variation de niveau dans le tube est autant plus petite que leur diamètre est grand.

Dans notre exemple, l'erreur est de 1%. S'il n'est pas tenu compte du déplacement du zéro de l'appareil.

Cependant ici, le tube de petit diamètre est incliné suivant un certain angle de façon à obtenir de grands déplacements du liquide pour de très petites variations de pression. Notre tube a un angle d'inclinaison de 6° c'est à dire $\sin 6^\circ \approx 0,1$ on a un déplacement de 1 cm de liquide (eau) dans la branche inclinée pour une pression

de 1 mm. de colonne d'eau dans le tube en U vertical.

Cet instrument permet de mesurer des pressions à une précision de l'ordre de 0,02 mm de colonne d'eau, il faut toutefois lui assurer une parfaite horizontalité, contrôlable d'ailleurs par un niveau à bulle.

4. Mode de fixation de l'aile

Pour fixer l'aile à notre balance, nous nous sommes pris une tige d'une longueur de 130 mm et de diamètre 8 mm en acier doux, un tel petit diamètre pour ne pas influencer la mesure de la portance de l'aile, car une partie de cette tige est plongée dans la soufflerie avec l'aile et les efforts appliqués sur cette tige viennent s'ajouter à ceux de l'aile, ce qui errona notre mesure.

À l'aide de deux tôles en acier doux XC 18 pliées sur l'aile toute en donnant la forme du profil à celles-ci, pour respecter le profil aérodynamique de l'aile, ces deux tôles sont soudées entre-elles et à la tige d'acier (axe de la balance), et nous avons renforcé la fixation de ces deux tôles à l'aile de plus de l'encastrement et le mode de fixation, par des vis de bois (l'aile est faite de bois) de diamètre 3 mm (Figure n° 4).

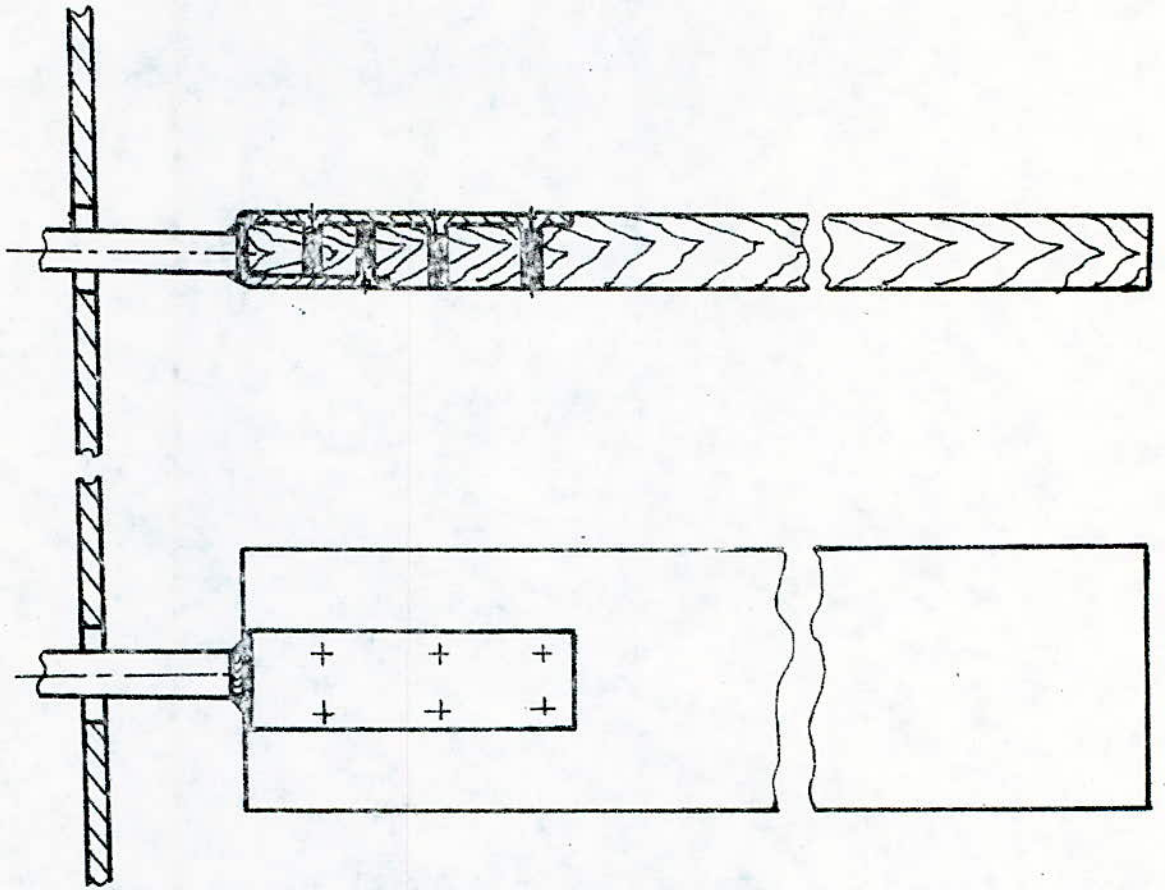


Figure n° 4 Fixation de l'aile.

i - Dispositif d'orientation de l'aile

Pour pouvoir varier l'angle d'incidence de l'aile, car nous voulons par notre balance mesurer la portance de l'aile pour plusieurs angles d'incidence.

Pour ce faire nous avons adopté le montage suivant (figure n°5) la tige (axe portant l'aile) est fixée au levier de notre balance à l'aide de quatre brides, ces dernières sont liées entre-elles deux à deux pour assurer l'horizontalité de l'axe de la balance.

Pour avoir une bonne fixation de cette tige car c'est nécessaire pour le bon fonctionnement du système, ces brides sont percées chacune de deux trous et à l'aide de 4 boulons et deux pièces préparés avec 2 trous taraudés chacune, nous avons assuré la fixation de cette tige avec serrage des 4 boulons après chaque changement de l'angle d'incidence de l'aile.

Pour assurer seulement la rotation de la tige et éliminer toute translation de la tige lors de sa rotation, nous avons réalisé un système fait d'un ressort et de rondelles et d'une goupille qui empêchera toute translation de la tige avec possibilité de rotation de celle-ci.

Avec un graissage de tout le système, l'angle d'incidence de l'aile est variable sans problèmes.

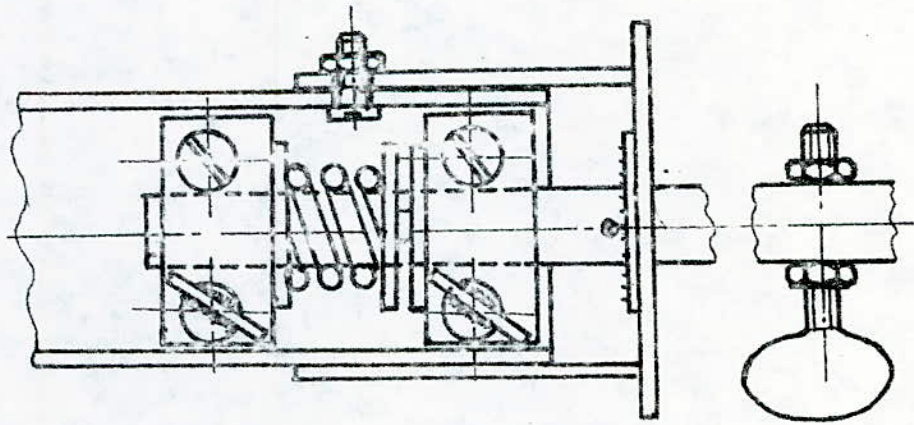
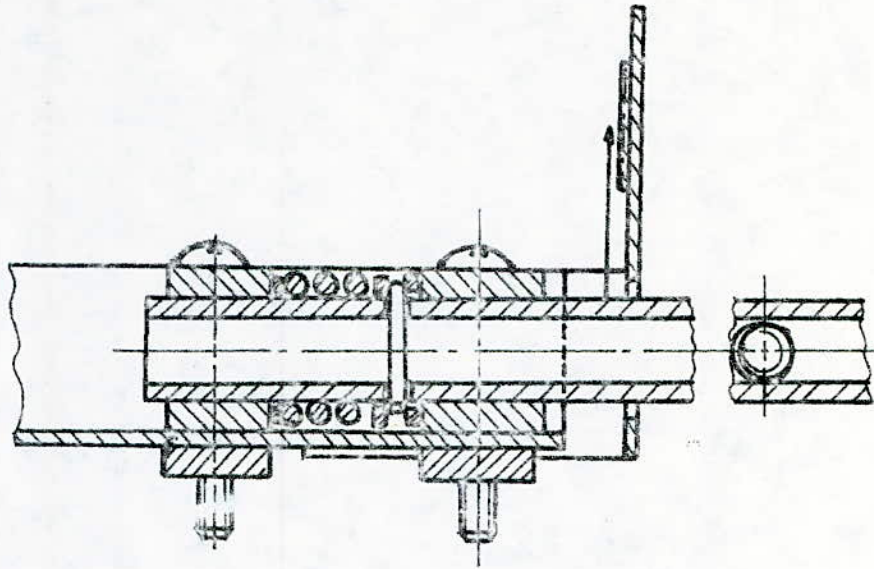


figure n° 5 . Dispositif d'orientation de l'aile .

Enfin pour connaître l'angle d'incidence de l'aile, nous avons réalisé un cadran muni d'une graduation angulaire, fixé au levier de la balance, une aiguille fixée à l'axe portant l'aile permet de nous donner l'angle d'incidence de l'aile sur le cadran fixe.

6 - Installation d'un thermomètre à la soufflerie

Dans nous installé un thermomètre à la soufflerie afin de déterminer la température du vent à l'intérieur de la soufflerie, car notre soufflerie est une soufflerie à circuit fermé, et l'air à l'intérieur en circulant s'échauffe considérablement c'est à dire la masse volumique change et nous voulons connaître cette masse volumique en connaissant la température statique et la pression statique (voir poste de mesure) de l'air circulant.

La température donnée par le thermomètre

$$T_t = T_s + \frac{1}{2} \frac{V^2}{c_p}$$

Dans notre soufflerie on a la vitesse de l'air ne dépasse pas 20 m/s.

$$c_p \text{ de l'air} = 1,0065 \cdot 10^3 \text{ J / } ^\circ\text{K} \cdot \text{kg}$$

$$T_t = T_s + \frac{20^2}{2 \times 1,0065 \cdot 10^3}$$

$$T_s = T_0 + 0,198 \text{ } ^\circ\text{K}.$$

$$T_t = T_0.$$

En conclusion, la température relevée sur le thermomètre de la soufflerie est la température statique de l'air circulant à l'intérieur de celle-ci.

De tous ces travaux, nous avons réalisé un banc d'essai de mesure de la portance de l'aile (Figure n°6).

7. Sondage de la veine

Pour faire le choix sur l'emplacement de l'aile, nous allons faire un sondage de la veine inférieure de la soufflerie où nous voulons placer l'aile.

Par ce sondage nous allons déterminer la région de la veine où la vitesse de l'air est maximale et la même en tous points de cette région.

Le sondage de la veine a donné le résultat

(Tableau n°1) qui va nous permettre de faire le choix, on remarque bien que la vitesse au milieu de la veine est maximale et pratiquement constante dans cette région.

Nous avons installé l'aile dans cette région centrale.

Figure n°6 Croquis du banc d'essai

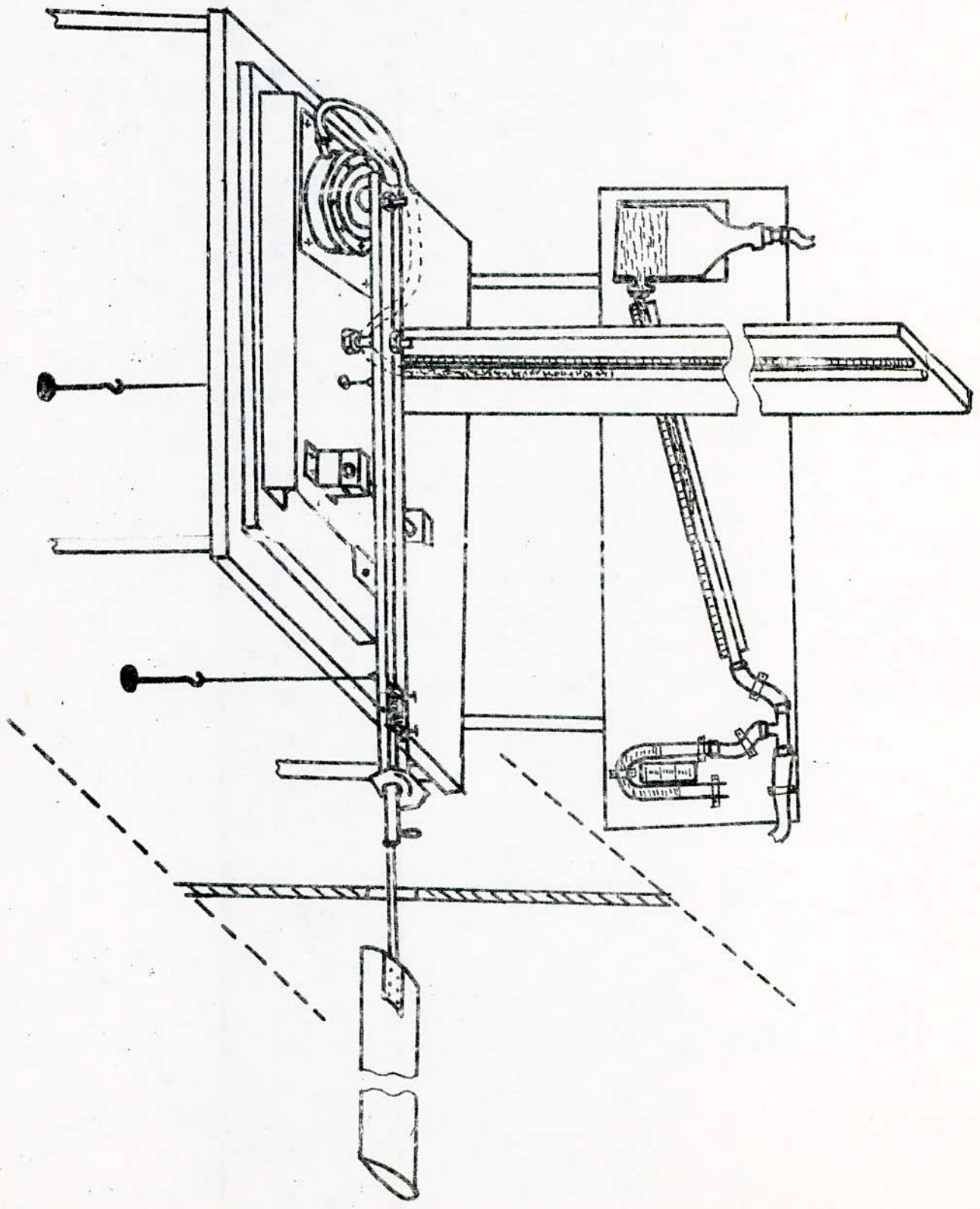


Tableau de mesures.

Vair est donné en m/s.

	1	2	3	4	5	6	7	8	9	10	11
1	13,35	15,5	15,74	15,81	15,6	14,86	15,1	15,1	12,3	12,01	10,8
2	13,4	15,3	15,8	15,85	16,02	16,35	16,56	16,7	16,9	15,7	15,3
3	11,86	14,3	14,9	14,8	15,6	15,74	15,8	15,9	16,3	14,3	13,01
4	12,16	15,1	15,8	15,9	15,96	15,62	16,2	15,62	15,9	13,7	13,01
5	10,76	14,9	15,1	15,85	15,96	15,8	15,96	15,9	16,18	15,4	13,3
6	11,2	15,04	15,8	15,8	16,2	15,46	16,07	15,2	15,3	13,4	12,9
7	11,2	14,31	15,45	15,51	16,13	16,2	16,2	15,4	14,4	13,6	13,5
8	12,2	14,9	15,85	16,07	16,6	16,7	16,8	16,2	15,5	15,2	14,9
9	13,7	15,3	15,6	14,9	15,04	13,74	15	15,7	16,1	13,7	12,6

Avec $T_s = 322^{\circ}K$; $P_s = P_{at} + \rho_{eau} g h_s$.

la pression atmosphérique = 757,4 mm de Hg qui correspond à 100978 Pa

$h_s = 11$ mm de C.E d'où

$$P_s = 100978 + 10^3 \times 9,81 \times 11 \cdot 10^{-3}$$

$$P_s = 101096 \text{ Pa.}$$

la masse volumique de l'air $\rho_{air} = \frac{P_s}{r T_s}$ avec $r = 287 \text{ J/kg}^{\circ}K$

$$\Rightarrow \rho_{air} = 1,1007 \text{ kg/m}^3$$

$$V_{air} = \sqrt{\frac{2 P_d}{\rho_{air}}}$$
 , nous mesurons P_d pour connaître V_{air}

PRINCIPE DE FONCTIONNEMENT DU BANC D'ESSAI

1 - Balance aerodynamique

Pour determiner la resultante aerodynamique et le moment resultant sur un corps en essai, on utilise un ensemble plus ou moins complexe appelé "balance aerodynamique". La balance doit mesurer une ou plusieurs composantes de la resultante generale et du moment resultant. Sauf maximum pour les balances la plus performantes.

Les 6 efforts que peuvent être mesurables. (Figure n° 7)

soit un repère orthonormé $(0, x, y, z)$ lié à l'aile.

R_x : traînée

R_z : portance

R_y : dérive

$$\vec{R} = R_x \vec{i} + R_y \vec{j} + R_z \vec{k}.$$

M_x moment de roulis

M_y moment de tangage

M_z moment de lacet

$$\vec{M} = M_x \vec{i} + M_y \vec{j} + M_z \vec{k}.$$

Le choix du type de la balance, ainsi que sa réalisation a été faite par Mr. Djouadi (voir Polycopie de Mr. Djouadi).

La balance de notre banc d'essai permet de mesurer la portance R_z exercée sur l'aile fixé au levier de celle-ci.

Cette balance est conçue à des fins pédagogiques, alors tous les

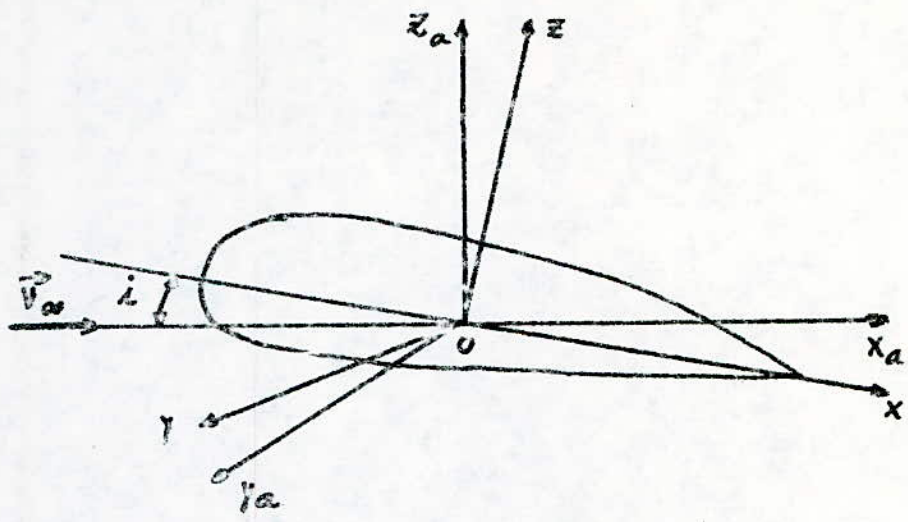


figure n° 7 Trièdres liés à l'aile

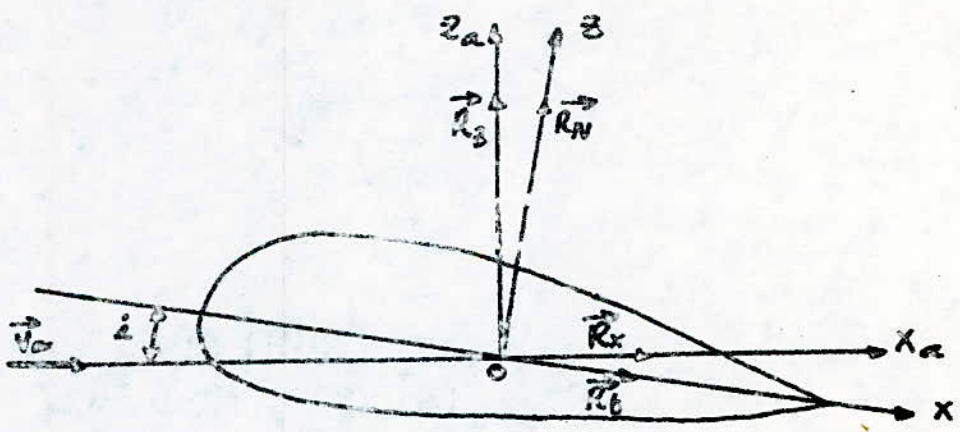


figure n° 8 Forces aérodynamiques.

travail qui été fait était dans le but d'avoir une balance qui présentera les caractéristiques suivantes:

- une bonne maniabilité,
- une lecture aisée
- une robustesse importante
- une bonne fidélité
- une bonne précision
- une sensibilité acceptable.

2 - Fonctionnement de la balance

Sous l'action de la portance R_2 , le levier subit une inclinaison par rapport au $pt O$ (Figure n° 8)

une force F de sens opposé et d'intensité proportionnelle à celle de R_2 s'exerce au point D sous l'action de la force F , le fluide contenu dans le récipient est soumis à une pression et le fluide est chassé dans le tube à une hauteur proportionnelle à l'effort exercé sur la membrane du transmetteur.

une graduation sur le tube permet de lire la hauteur h du fluide chassé.

$$\text{sachant que: } F = R_2 \cdot \frac{l_1}{l_2}$$

D'autre part la pression qui compense la force agissante sur la membrane est telle que:

$$P = \frac{F}{S_{eff}}$$

46

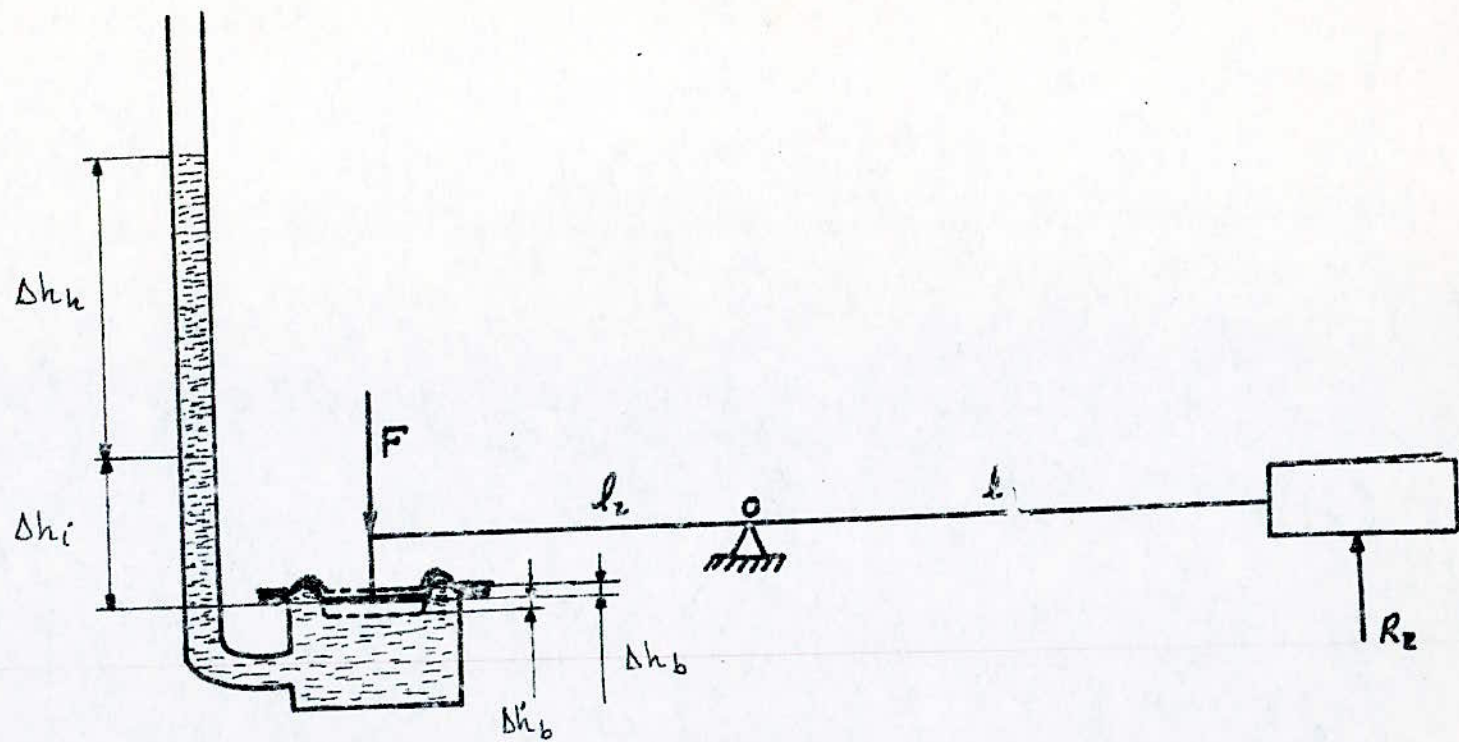


Figure n° 8 Principe de fonctionnement de la balance.

ou S_{eff} est la surface effective de la membrane.

On applique à la membrane un déplacement Δh_b qui se suit par un déplacement de Δh_i sur le tube gradué d'après le principe de vases communicants et ceci pour être sûr que notre transmetteur de force fonctionne sans défauts.

C'est à dire on a une hauteur Δh_i sur le tube avec la portance exercée sur l'aile nulle, en outre Δh_i caractérise l'état initial de toute mesure, c'est le zéro de la graduation.

Maintenant si on a un effort F appliqué sur la membrane, c'est-à-dire un effort de portance sur l'aile, on a un déplacement $\Delta h'_b$ du diaphragme et un déplacement Δh_n d'après toujours le principe de vases communicants.

La pression dans ce cas exercée sur la membrane

$$P = \rho g \cdot (\Delta h_n + \Delta h'_b).$$

$\Delta h'_b$ est négligeable devant Δh_n car on a deux vases communicants dont l'un d'eux (récepteur) a un diamètre \gg à celui de l'autre (tube gradué).

$\Delta h'_b$ est de l'ordre de ϵ mm.

Δh_n est de l'ordre de 400 mm

d'où

$$P = \rho g \Delta h_n$$

ρ : masse volumique du fluide (eau)

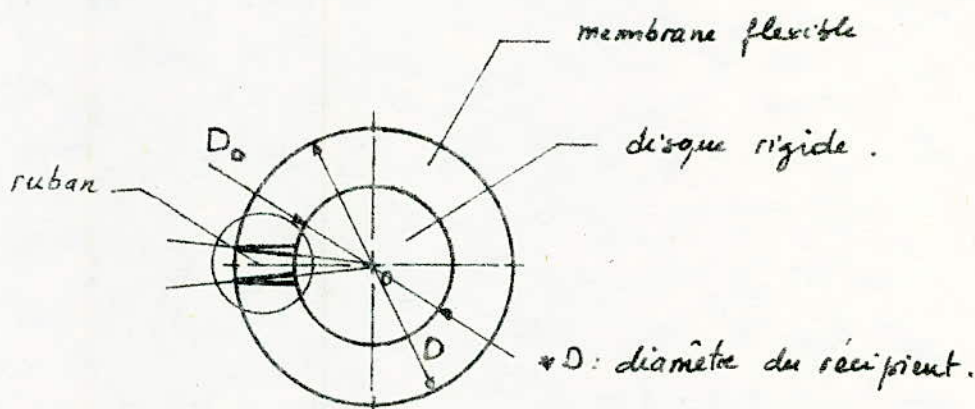
g : accélération de la pesanteur.

d'autre part on a $P = \frac{F}{S_{eff}}$

Où S_{eff} est la surface effective qui travaille, cette surface est composée d'une partie rigide, un disque de diamètre D_0 d'Aluminium et d'une partie flexible, une membrane de caoutchouc. Maintenant si on applique un effort F sur le système disque-membrane par le levier de la balance, cet effort est compensé par un effort de pression (P) exercé sur le disque et la membrane, et nous allons calculer cet effort de compensation qui est composé de deux efforts.

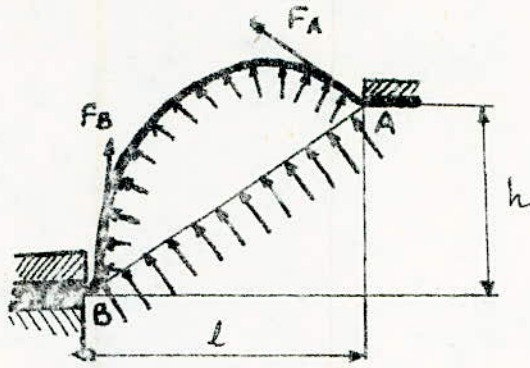
- Un effort sur le disque rigide $F_1 = \pi \frac{D_0^2}{2} \cdot P$.
- un effort sur la membrane que nous allons le calculer.

Pour calculer cet effort nous allons faire certaines simplifications dans le calcul.



Au lieu de prendre un élément de la membrane de variation angulaire on prend un élément ou encore un ruban de largeur l et de longueur l avec $l = \frac{D - D_0}{2}$ (voir schéma).

En fait, le ruban

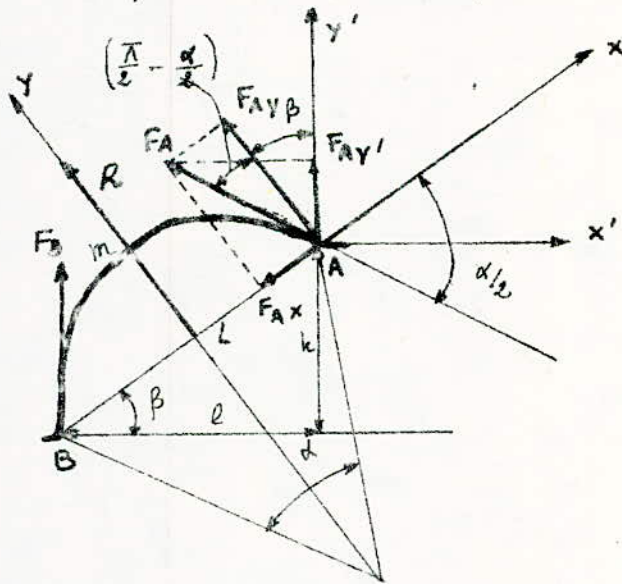


Mais alors faire d'un seul côté à cause de la symétrie.
On remplace la pression exercée sur le ruban, par une pression équivalente répartie le long d'une travée de longueur l avec

$$L = \sqrt{n \times l^2}$$

Le ruban est supposé idéalement flexible, R_A est tangente au ruban.
Considérant l'aspect statique du système.

h étant le déplacement du disque suivant la verticale.



$$\sum F \text{ suivant } OX \quad F_{Ax} - F_{Bx} = 0 \quad \rightarrow \quad F_{Ax} = F_{Bx}$$

$$\sum F \text{ suivant } OY \quad F_{Ay} + F_{By} + R = 0$$

$$\sum M / \text{au point } B \quad F_{Ay} L + R \cdot \frac{L}{2} = 0 \quad \left. \vphantom{\sum F \text{ suivant } OY} \right\} \quad F_{Ay} = F_{By} = \frac{R}{2}$$

avec $R = P \cdot L \cdot 1$

$$= P \cdot \sqrt{h^2 + l^2} \quad \rightarrow \quad F_{Ay} = P \cdot \frac{\sqrt{h^2 + l^2}}{2}$$

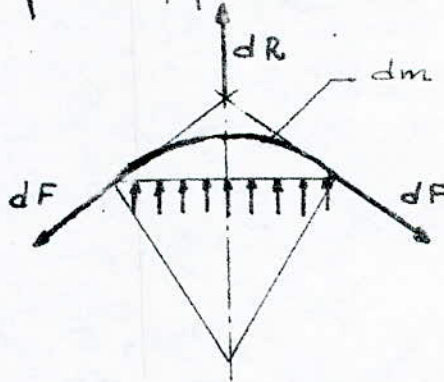
alors

$$F_A = \frac{F_{Ay}}{\cos\left(\frac{\pi}{2} - \frac{\alpha}{2}\right)} \quad F_A = P \cdot \frac{\sqrt{h^2 + l^2}}{2 \sin \frac{\alpha}{2}} \cdot 1$$

Calcul de l'angle α .

La forme du ruban sous pression est une arc de cercle.

Notre ruban est flexible, prenons un élément de ce ruban dm

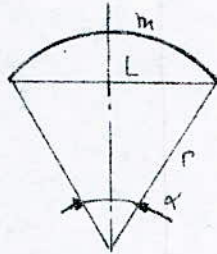


Le ruban est en équilibre statique, c'est-à-dire chaque élément de ce ruban est en équilibre, en outre le système de force de chaque élément se présente de la manière ci-dessus et si nous juxtaposons les n éléments de ce ruban, nous trouverons une arc de cercle.

Pour cette raison on a pour $h=0$ la forme du ruban un demi-cercle de diamètre l , alors la longueur de notre ruban

$$m = \frac{\pi l}{2}$$

Dans le cas général c'est à dire $h \neq 0$ on a la forme suivante.



$$m = r \cdot \alpha$$

$$L = 2r \sin \frac{\alpha}{2} \rightarrow r = \frac{\sqrt{h^2 + l^2}}{2} \cdot \frac{1}{\sin \frac{\alpha}{2}}$$

$$\frac{\pi l}{2} = \frac{\sqrt{h^2 + l^2}}{2} \cdot \frac{1}{\sin \frac{\alpha}{2}}$$

$$\alpha \cdot \frac{\sqrt{h^2 + l^2}}{\pi \cdot l} = \sin \frac{\alpha}{2}$$

Avec ceci nous pouvons calculer α .

Et qui nous intéresse de tout ce calcul c'est la composante verticale alors:

$$F_{AY'} = F_A \cdot \cos \left(\frac{\pi}{2} - \frac{\alpha}{2} + \beta \right)$$

En conclusion on a

$$F_{AY'} = \frac{P \cdot \sqrt{h^2 + l^2}}{2} \cdot \frac{1}{\sin \frac{\alpha}{2}} \cdot \cos \left(\frac{\pi}{2} - \frac{\alpha}{2} + \beta \right) \quad (1)$$

$$\text{avec } \tan \beta = \frac{h}{l} \rightarrow \beta = \arctan \frac{h}{l} \quad (2)$$

$$\text{et } \alpha \cdot \frac{\sqrt{h^2 + l^2}}{\pi \cdot l} = \sin \frac{\alpha}{2} \quad (3)$$

la force résultante sur la membrane.

$$F_2 = F_{Ay} \cdot 2\pi \cdot \left(\frac{l}{2} + \frac{D_0}{2}\right).$$

calculons l'effort total sur le système disque-membrane pour

$h = 0; 1; 2; 3$ mm avec $l = 7$ mm et $D_0 = 61$ mm

$D = 75$ mm.

$$h=0 \quad \beta=0 \quad \alpha=\pi.$$

$$F_{Ay} = P \cdot \frac{l}{2} \cdot 1.$$

$$F_2 = P \cdot \frac{l}{2} \cdot 2\pi \left(\frac{l}{2} + \frac{D_0}{2}\right).$$

$$F = F_1 + F_2$$

$$= P \cdot \pi \frac{D_0^2}{4} + P \cdot \frac{l}{2} \cdot 2\pi \left(\frac{l}{2} + \frac{D_0}{2}\right)$$

$$= P \pi \cdot \left[\frac{D_0^2}{4} + l \left(\frac{l}{2} + \frac{D_0}{2}\right) \right].$$

$$F = P \cdot \pi (1168,25).$$

$$F = P \cdot \pi \frac{68,35^2}{4} \quad \text{avec } D_{\text{eff}} \text{ [mm]}.$$

La surface effective dans ce cas $S_{\text{eff}} = \pi \cdot \frac{68,35^2}{4}$.

Le calcul est le même pour $h = 1$ mm; 2; 3 mm seulement

l'angle α est calculable par itérations successives, on

trouve pour $h = 1$ mm

$$S_{\text{eff}} = \pi \cdot \frac{(68,33)^2}{4}$$

$h = 2$ mm

$$S_{\text{eff}} = \pi \cdot \frac{68,23^2}{4}$$

$h = 3$ mm

$$S_{\text{eff}} = \pi \cdot \frac{(67,93)^2}{4}$$

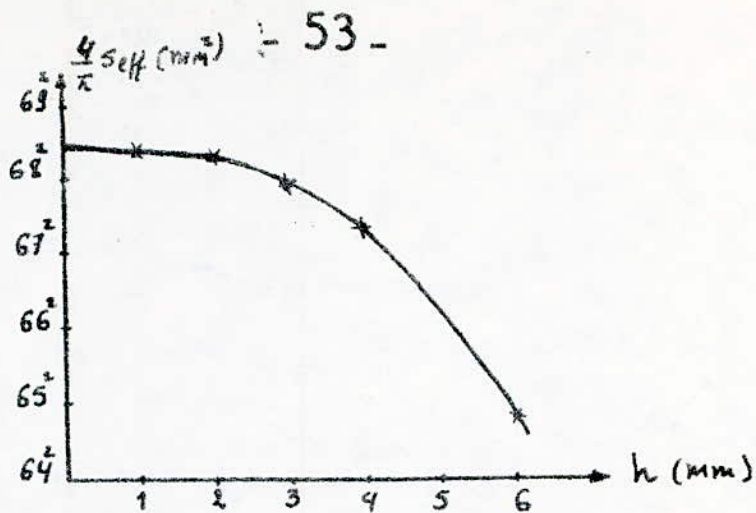
$h = 4$ mm

$$S_{\text{eff}} = \pi \cdot \frac{67,75^2}{4}$$

$h = 6$ mm

$$S_{\text{eff}} = \pi \cdot \frac{(64,75)^2}{4}$$

Graphique de cette fonction $S_{\text{eff}}(h)$.



Calculons, cette surface effective à partir de résultats expérimentaux.

La raideur de la membrane à partir du test de la membrane c'est la pente de la droite obtenue.

$$k_1 = 0,0326 \text{ m N}^{-1}$$

d'autre part $\Delta h_n = k_1 F$ et $\frac{F}{S_{eff}} = \frac{\rho g \Delta h_n}{\cos \alpha}$

$$\rightarrow k_1 = \frac{1}{\rho \cos \alpha S_{eff}}$$

$$\rightarrow S_{eff} = \frac{1}{k_1 \rho \cos \alpha}$$

$$= \frac{1}{0,0326 \cdot 9,81 \cdot 10^3}$$

$$S_{eff} = 3126,89 \cdot 10^{-6} \text{ m}^2$$

$$S_{eff} = \pi \cdot \frac{63,07^2}{4} \text{ mm}^2 \quad D_{eff} (mm).$$

On remarque sur le graphique de $S_{eff}(h)$ de l'étude théorique approximative que la surface effective est pratiquement constante par une telle variation de h , ce qui est le cas pour notre balance, la variation de h est de 2 mm, dans notre calcul ultérieur on eud $S_{eff} = \pi \frac{63,07^2}{4} \text{ mm}^2$ car c'est une valeur expérimentale.

On a $\rho g \Delta h_n = \frac{F}{S_{eff}} \rightarrow \Delta h_n = \frac{F}{\rho g S_{eff}}$

comme $F = R_z \cdot \frac{l_1}{l_2}$

alors $\Delta h_n = R_z \cdot \frac{l_1}{l_2} \cdot \frac{1}{\rho_{eau} g S_{eff}}$

On déduit la transmittance du système qui fait correspondre une hauteur Δh_n à chaque portance R_z , en posant :

$$\frac{1}{k_2} = \frac{l_1}{l_2} \cdot \frac{1}{\rho_{eau} g S_{eff}}$$

On a alors $R_z = k_2 \cdot \Delta h_n$

$$k_2 = \frac{300 \times 10^3 \times 9,81 \times 3124,17 \times 10^{-6}}{615} \quad k_2 = 14,95 \text{ N} \cdot \text{m}^{-1}$$

Ainsi pour mesurer la portance R_z , il suffit de lire sur le tube gradué la hauteur Δh_n et de la multiplier par la constante k_2 .

$$R_z = 14,95 \cdot \Delta h_n \quad \text{avec } \Delta h_n \text{ en mètre de C.E.}$$

avec R_z portance de l'aile [N]

Δh_n hauteur de colonne d'eau

3. Mesure de la vitesse locale

Notre dispositif de mesure de la vitesse locale permet de donner la pression dynamique et la pression statique dans la soufflerie.

Le tube de Pitot que nous avons installé à la soufflerie permet de donner la pression totale en plusieurs points suivant l'axe de symétrie horizontal de la section de la veine au

nous avons installé notre aile.

La pression dynamique est mesurée sur le tube en U à branche inclinée comme étant la pression différentielle entre la pression totale et la pression statique obtenue à l'aide d'un trou de 2mm de diamètre fait sur la paroi de la soufflerie.

La température de l'air circulant dans la soufflerie est donnée par un thermomètre installé sur la soufflerie.

La mesure de la pression statique de la soufflerie se fait sur un tube en U vertical (poste de mesure).

Connaissant la pression statique dans la soufflerie et la température de l'air circulant dans celle-ci, nous permettent de connaître avec exactitude la masse volumique de cet air. D'autre part, à partir de la pression dynamique et la masse volumique de l'air dans la soufflerie, on peut déduire la vitesse de l'air dans celle-ci.

En résumé notre banc d'essai permet de mesurer :

- la portance de l'aile
- la vitesse de l'air circulant dans la soufflerie
- la masse volumique de l'air circulant.

La force aérodynamique F_z de portance est définie par :

$$F_z = \frac{1}{2} \rho C_z \cdot S \cdot V^2$$

avec ρ : masse volumique de fluide (air) kg/m^3

C_z : coefficient de portance (sans dimension)

S : surface de l'aile (m^2)

V : vitesse de l'air (m/s).

La force F_z dépend de l'angle d'incidence (i).

$$\text{alors } F_z(i) = k \cdot C_z(i).$$

avec $k_3 = \frac{1}{2} \rho S V^2$ k est une constante.

$$\rightarrow C_z(i) = \frac{F_z(i)}{k_3}.$$

Connaissant la fonction $F_z(i)$, ce qui va nous permettre de connaître la fonction $C_z(i)$.

$C_z(i)$ étant la caractéristique de l'aile.

En conclusion si on fait varier l'angle d'incidence (i) et on relève l'effort $F_z(i)$, cela va nous permettre de passer au tracé de la caractéristique de l'aile, bien sûr en connaissant la constante k .

TESTS ET RESULTATS

I. Manipulations

Notre banc d'essai est conçu, nous le rappelons encore à des fins pédagogiques, les différents mesure que les étudiants peuvent la faire, et nous allons la faire afin de vérifier le bon fonctionnement de notre banc d'essai sont :

- Mesure de la portance de l'aile.
- Mesure de la pression dynamique dans la soufflerie.
- Mesure de la pression statique dans la soufflerie.
- Mesure de la température de l'air circulant dans la soufflerie.

Mais avant de faire toute mesure, c'est-à-dire avant de mettre la soufflerie en marche, il faut marquer le zéro de chaque graduation de mesure.

Alors il faut marquer le zéro de la graduation donnant la hauteur D_h causé par l'effort de portance de l'aile, ce zéro de la graduation correspond à une hauteur D_{h_0} sur le tube gradué pour un effort de portance de l'aile nul (c'est avec soufflerie à l'arrêt).

Il faut marquer aussi le zéro de la graduation sur le cadran donnant l'angle d'incidence de l'aile, et ceci en assurant l'horizontalité de l'aile à l'aide de deux traits horizontaux l'un est porté sur l'aile et l'autre sur la fenêtre

de la soufflerie.



Enfin il faut aussi marquer le zéro de la graduation donnant la pression dynamique en mm. H₂O., ceci est obtenu bien sûr avec la vitesse du fluide nulle (la soufflerie à l'arrêt)

Après avoir fini avec le repérage des manomètres, on fait en marche la soufflerie pendant 10 à 15 minutes à vitesse nominale, pour un régime établi dans celle-ci. car la température de l'air circulant dans la soufflerie augmente considérablement (de 15°C à 50°C), pour cette même raison, ces mesures ne peuvent être faites séparément afin de travailler avec une température relativement constante.

Tous fois les mesures on procède de la manière suivante: On fait varier l'angle d'incidence i de l'aile de 0° à 25° et ceci de 2° à 2° et en notant à chaque fois la hauteur h correspondant à chaque effort de portance pour ces angles, ensuite en retranchant la hauteur h_0 de h pour déterminer

la hauteur exacte h_1 causée par l'effet de portance de l'aile.
La mesure de la pression statique ou encore la lecture se
fait sur le tube vertical (poste de mesure) gradué
en mm.

La mesure de la température est obtenu par le thermomètre
placé sur la soufflerie.

La mesure de la pression dynamique se fait sur le tube en U
à branche inclinée (poste de mesure), nous pouvons faire
cette mesure en plusieurs points de la veine où nous avons
placé notre aile, ces points sont espacés de 50 mm entre eux
et ceci est réalisable avec notre tube de Pitot gradué,
on peut aussi trouver une vitesse moyenne de l'air
où l'aile est placée qui a une envergure de 330 mm.

2 - Mesures des tests

Zéro de la graduation donnant la portance de l'aile

$$\Delta h_1 = 150 \text{ mm.}$$

Zéro de la graduation donnant l'angle d'incidence

$$\alpha = 87^\circ$$

Zéro de la graduation donnant la pression dynamique

$$P_0 = 9,3 \text{ mm de c.e.}$$

h_s étant la pression différentielle ($P_s - P_{atm}$) avec la
pression statique dans la soufflerie.

Tableaux de mesures après correction :

i	0°	2°	4°	6°	8°	10°	12°	14°	16°	18°	20°
Δh_h mm CE	112	166	220	252	295	340	375	410	430	420	400
T_s °K	313	314	314	315	315	315	316	316	317	317	317
P_s mm CE	11	11	11	11	11	11	11	11	11	11	11

Mesure de la pression dynamique :

distance x mm	50	100	150	200	250	300	350	400	450
P_d mm CE	12,4	14,2	13,7	14,5	14,2	14,5	14,2	14,9	13,5

Note: La distance x est repéré à partir de la paroi de la soufflerie et ceci suivant de symétrie horizontal de la section de la veine.

3 - Exploitation de ces mesures

a - Calcul de la masse volumique de l'air dans la soufflerie :

$$\rho_{\text{air}} = \frac{P_s}{r T_s}$$

- Pression statique : on a $h_s = (P_s - P_{\text{atm}})_{\text{mm CE}}$

$$\rightarrow P_s = (h_s + P_{\text{atm}})_{\text{mm CE}}$$

ou encore
$$P_s = \rho_{\text{eau}} g h_s + P_{\text{atm}}$$

$$P_s, P_{\text{atm}} \text{ (en Pascals).}$$

La Pression atmosphérique (P_{atm}) = 760,3 mm de Hg qui correspond à 101378 Pa.

$$h_s = 11 \cdot 10^{-3} \text{ m.C.E.}$$

$$\rho_{\text{eau}} = 10^3 \text{ kg/m}^3.$$

$$g = 9,81 \text{ m/s}^2.$$

$$P_s = 10^3 \times 9,81 \times 11 \cdot 10^{-3} + 101378$$

$$P_s = 101485,91 \text{ Pa}$$

la température statique T_s varie de 313 à 317°K on peut prendre une valeur moyenne $T_s = 315^\circ\text{K}$.

d'où la masse volumique de l'air

$$\rho_{\text{air}} = \frac{P}{rT}$$

avec $r = 287 \text{ J/kg}^\circ\text{K}$.

$$\rho_{\text{air}} = \frac{101485,91}{287 \times 315}$$

$$\rho_{\text{air}} = 1,122 \text{ kg/m}^3.$$

b - Calcul de la vitesse de l'air dans les différents points de la veine.

$$P_d = \frac{1}{2} \rho_{\text{air}} v_{\text{air}}^2 \rightarrow v_{\text{air}} = \sqrt{\frac{2 \times P_d}{\rho_{\text{air}}}}$$

$$P_d = \rho \cdot g \cdot h$$

$$P_d = 10^{43} \cdot 9,81 \cdot 10^{-3} h_d \quad \text{avec } h_d \text{ (en mm de CE)}$$

$$P_d \text{ (en Pascals)}$$

distance x mm	50	100	150	200	250	300	350	400	450
P_d (en Pa)	129,64	139,30	134,40	142,24	139,30	142,24	139,30	146,16	132,40
V _{air} m/p	14,72	15,60	15,48	15,92	15,76	15,92	15,76	16,14	15,36

Calculons la vitesse moyenne de cette marge où notre aile est placée

$$V_{\text{moy}} = 15,63 \text{ m/s.}$$

C. Calcul de la portance.

$$F_z = \frac{1}{2} C_z \rho_{\text{air}} S \cdot V_{\text{air}}^2$$

$$F_z = K_3 C_z$$

$$\text{avec } K_3 = \frac{1}{2} \rho_{\text{air}} S V_{\text{air}}^2$$

$$\rho_{\text{air}} = 1,122 \text{ kg/m}^3$$

$$S_{\text{aile}} = 0,0369 \text{ m}^2 \text{ (photocopie de Mr. Di Fallah)}$$

$$V_{\text{air}} = 15,63 \text{ m/p.}$$

$$K_3 = 5,059 \text{ N.}$$

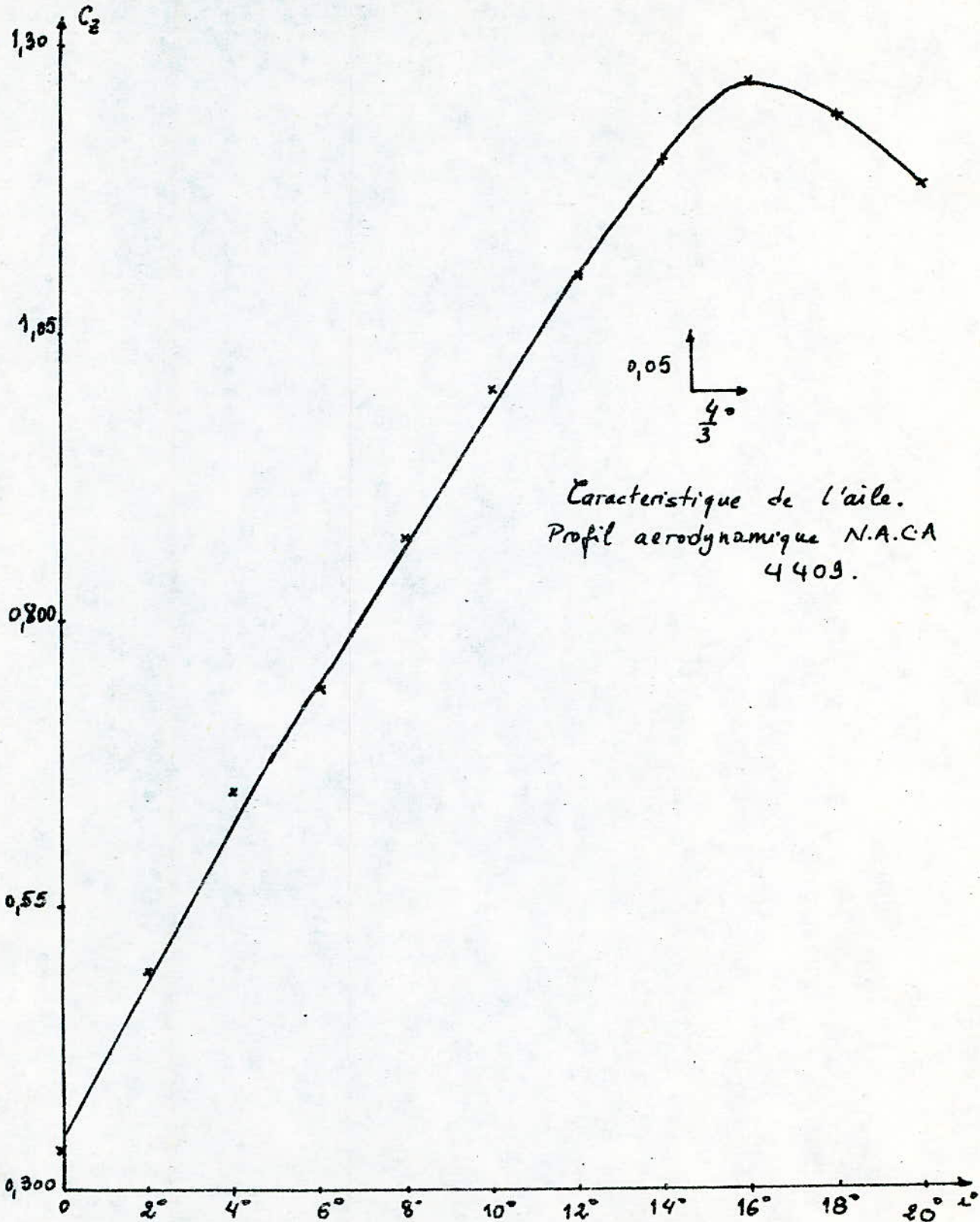
D'autre part on a $\bar{z} = k_2 \cdot \Delta h_n$

$$\text{avec } k_2 = 14,95 \text{ N m}^{-1}$$

La caractéristique de notre aile $C_z(i) = \frac{F_z(i)}{K_3}$

i°	0°	2°	4°	6°	8°	10°	12°	14°	16°	18°	20°
$\Delta h_n \cdot 10^{-3}$ m CE	112	166	220	252	295	340	375	410	430	420	400
F_z N	1,67	2,48	3,29	3,77	4,41	5,03	5,60	6,13	6,43	6,28	5,98
C_z	0,33	0,49	0,65	0,74	0,87	1,00	1,11	1,21	1,27	1,24	1,18

Trace de la caractéristique $C_z(i)$.



Caractéristique de l'aile.
Profil aérodynamique N.A.C.A
4409.

CONCLUSION

Toutes les espérances ont été satisfaites, le banc a été mis en marche, prêt à fonctionner, enrichissant ainsi notre laboratoire d'un TP d'énergétique, très utile.

C'est en fait un appareillage unique en son genre et inestimable que les étudiants découvriront lors de la manipulation, complétant ainsi leur connaissance dans le domaine de la mécanique des fluides ainsi que de l'aérodynamique. J'ai acquis une expérience abondante en contact de gens du métier, et au cours des différents travaux d'ateliers que j'ai effectués. Et je présume que c'est une pédagogie pour compléter les connaissances de l'étudiant, et ceci en donnant des sujets de réalisation.

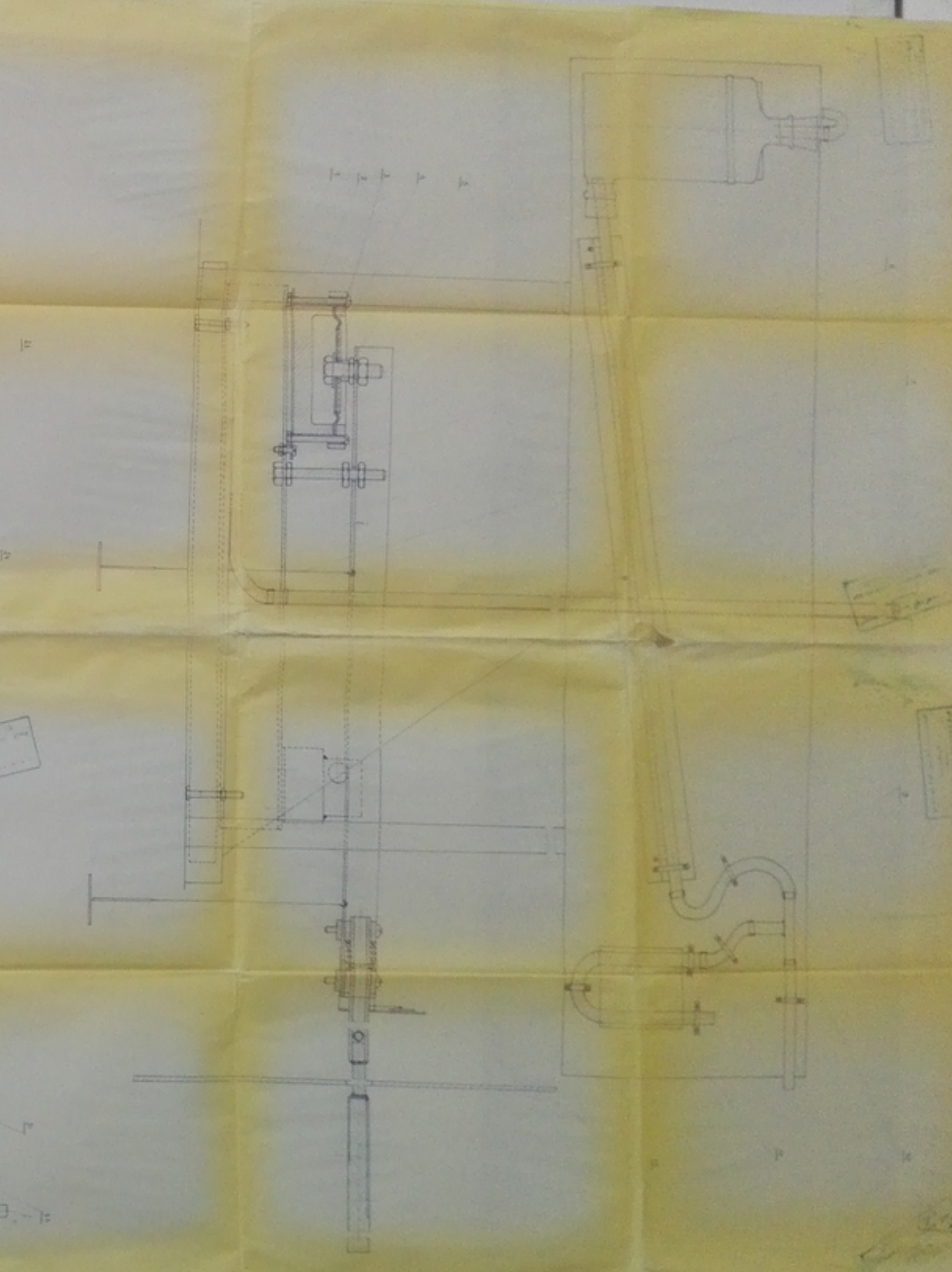
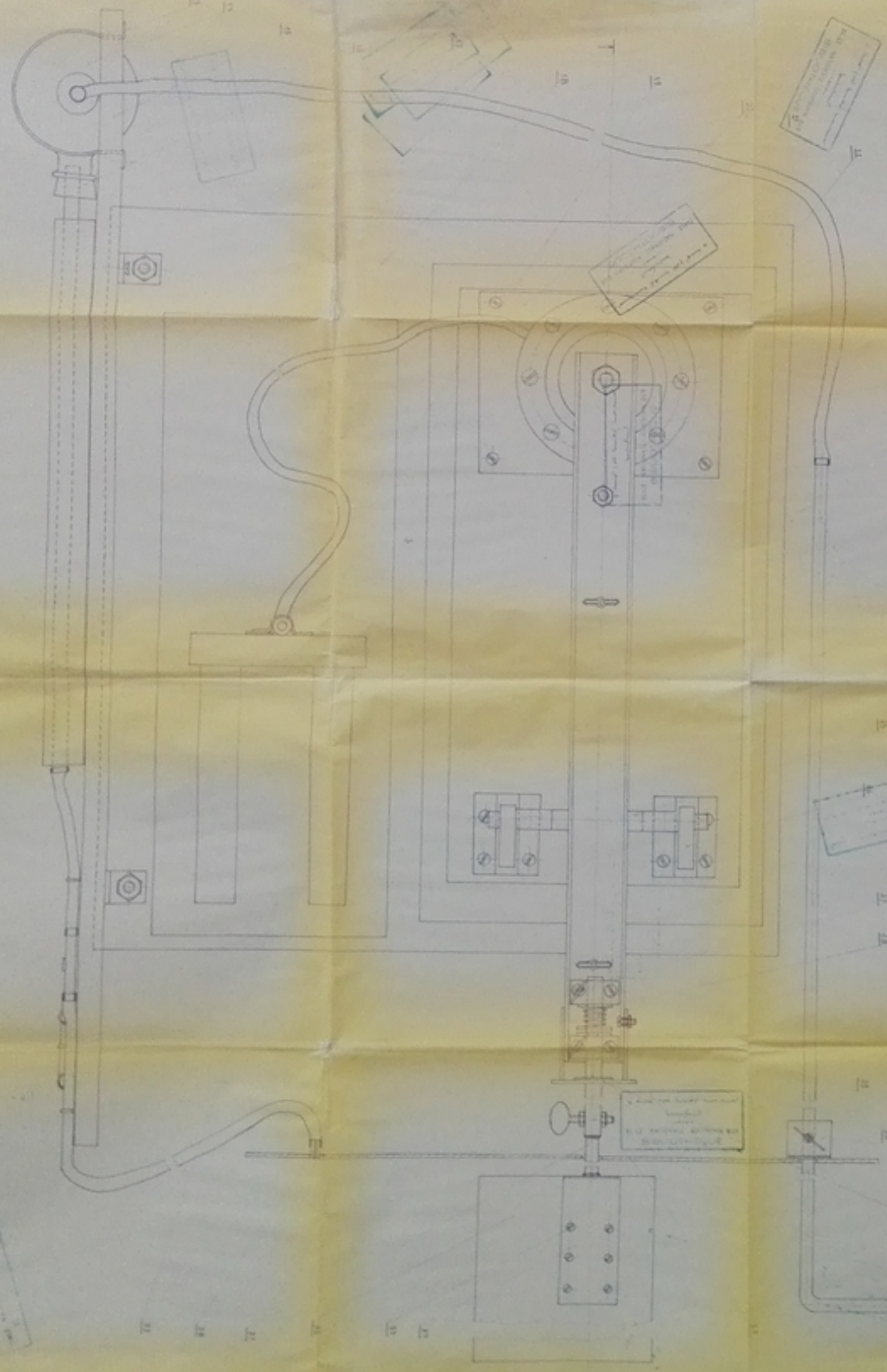
En collaboration étroite avec les différents ateliers de l'École, avec de la volonté et de simple moyen, la mise en marche d'équipement de laboratoire est très possible, une offre est à faire dans ce sens dans les projets futurs.

BIBLIOGRAPHIE

- BURTON (J) : Technique de la mesure et du contrôle dans l'Industrie. (Tome I, II)
- REBUFFET (P) : Aérodynamique expérimentale.
Editions Beranger - 1960.
- DIFFALLAH : Balance aérodynamique
Projet de fin d'études - Promotion janv. 1983.
- DJOUADI : Banc d'essai de portance aérodynamique
Projet de fin d'études - Promotion juin 1984
- PISSARENKO (G) : Aide-mémoire de résistance des
YAKOVLEV (A) matériaux E.M.
MATVÉEV (V) Editions de Moscou.

Legende des symboles

- v : vitesse du fluide
- P : pression du fluide
- c_p : chaleur spécifique de l'air.
- ρ : masse volumique du fluide
- F_z : portance de l'aile
- C_z : coefficient de portance
- C_6 : colonne d'eau.



PM 00895
Aircraft

Part No.	Description	QTY	Remarks
1
2
3
4
5
6
7
8
9
10
11
12
13
14
15
16
17
18
19
20
21
22
23
24
25
26
27
28
29
30
31
32
33
34
35
36
37
38
39
40
41
42
43
44
45
46
47
48
49
50

QIT NATIONAL POLYTECHNIC

Part No.	Description	QTY	Remarks
1
2
3
4
5
6
7
8
9
10
11
12
13
14
15
16
17
18
19
20
21
22
23
24
25
26
27
28
29
30
31
32
33
34
35
36
37
38
39
40
41
42
43
44
45
46
47
48
49
50